

Se ~~W. F. U. M. G.~~  
il 2013

*Se(x)*

~~145~~

$(\beta, H - H_0)$

145-II-71B

Резницкий Л.А.

Энтропия и изменение энталпии селена, 2 с.

~~Резницкий~~  
Se (X)

(Pt?, смк, термод. ф.)

145-II-713

Резницкий Л.А.

Полиморфные модификации селена. Температуры  
и теплоты превращений, 7 с.

~~1506~~  
Se(2)  
(термод. ф.)

145-II-РКВ

Юнгман В.С.

Термодинамические функции  $|C_p, S, H-H_0|$

Se /г/, 2 с.

$Se(x)$

$(T_{tr}, stzH)$

~~145-II-TXB~~  
145-II-TXB

Стишов С.М.

Фазовые переходы в селене и теллуре при  
высоких давлениях, 1 с.

II-909

1912

Preuner and Brockmölle  
1. Z. physik. Chem. 81, 129 (1912)

$$\left. \begin{array}{l} Se_2 \\ Se \end{array} \right\} r. \Delta H_f^\circ$$
$$T_m, \Delta H_m$$

Circ. 500

B, R, A



1981

Se

1920

Dodd L. E.

(P)

B90 - 5094-11

"J. Am. Chem. Soc"

1920, 42, 1579-94.

II-1815

FeSi; Te; Se ( Cr)

1922

Padoci

Gazz.chim.ital., 1922, 52, 25

Исследование теплоемкости

Б



В б-на  
сер

Se

1926.

M.P. Monclair-Monval.

P<sub>t2</sub>

B92 - 5080 - II

C.R. 1926, 1 sem.

182 N24, 1465-68

Se

Mondaen Monval

1926

T<sub>t2</sub>; ΔH<sub>t2</sub>

B97 - 5036-11

"soc. chess"

1926, 4scr, 39, 1349-68

Se

Briegleb 6.

1929

Sup - 7005-II

"Z. phys. Chem" et.

1929, 144, 5-6, 340-58.

die dynamisch-allotropen  
"Zustände des Selenes"

I-1823

Sei ancken (G)

1930

401. Jamison, von Gronau.

Z. anorg. allgern. Chem., 1930,

192, 193

Fsp

B

?

To MDA  
he engaged  
(est meano 6.425)

GP

Se

T. de Vries

1932

L. F. Dohrny

(C<sub>8</sub>)

BEP - 5097 - II

"J. Am. Chem. Soc"

1932, 54, 32-58.

II - 898

1932

Herzberg W.

1. Ann. Physik 15, 677-8 (1932)

693-702

$\frac{Se}{Se_{2i}}$  } r;  $\Delta H_f^\circ$

0.1 m. 900

10, k, M

gp-1  
ker gp.n.

1434-II

$T_{tr}$  ( S, Se )

1934

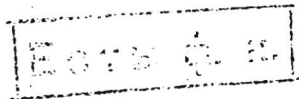
Mondain Monval P.

Compt. rend. 1934, 198, 1413-15

"Crystallization of vitreous  
substances"

C.A., 1934, 3646<sup>5</sup>

b  
Vitro



gp

Se

1937

Anderson C.I.

"J. Am. Chem. Soc"

1937, 59, 1036-7

Cp -

Bp - 60.95 - 11

Se (2)

Se<sub>2</sub>

ΔHf

Bip - 930 - 11

1937

Asuncion R.R.

Parti V.P.

"Proc. Indian Acad.  
"Sci" at 6, 207-22.

XIII-1613

1938

Ca, Hg, Ta, Be, Cr, Cs, CCP, Bi, Te, Se,  
NH<sub>4</sub>Cl      (Te<sub>2</sub>)

Bridgman P. 25.,

Ames. Inst. Mining Met. Eng.  
Inst. Metals Div., 1938, 128,

T 15-16

Se

(P<sub>t2</sub>)

Bp - 1542 - 11

1939

das S.R

das Gupta R.

"Nature"

1939, 18, 3613.-

1933

Se

Neumann K., Lichtenberg F.

Z. phys. Chem., 1939, 184 A, 89

Druckkurve nach Celsius

$$\log P(\text{mmHg}) \text{ Se}_{Kp} = 12.78 - \frac{2440}{T}$$

(184-214°C)

Pas

$$\log P(\text{mmHg}) \text{ Se}_m = 8.63 - \frac{5391}{T}$$

(218-229°C)

Bsp - 9 1/3 - //

M.B.  $\text{Se}_6$ , reue. mahl. 1,3 mmol/2-ac.

r.m.  $220,2 \pm 0,5^\circ\text{C}$ .

II-908

I940

Niwa and Shimazaki

1.J.Faculty Sci.Hokkaido Imp.Univ.  
Ser.III,3, 35 (I940)

Se, r.;  $\Delta H_f^\circ$   
 $T_{tz}$ ,  $\Delta H_{tz}$ ,  $\Delta C_p$ -nepex. kp.  $\rightarrow$  kp.  
 $T_m$ ,  $\Delta H_m$ ,  $\Delta C_m$ -m. kp.  $\overline{I} \rightarrow$  xc.

Se<sub>2</sub>; r.;  $\Delta H_f^\circ$

Circ.500



Op<sup>2</sup>. 1

5

II-1645

L 1940

Se (P;  $\Delta H_s$ ;  $\Delta H_f$ ;  $\Delta F$ )

Niwa K., Sibata Z.-i.

J. Chem. Soc. Japan 1940, 61, 667-76

Molecular weight determination of vapors of substances of low vapor pressure. Determination of the vapor D

B

C. A. 1940, 76812  
Surfactants  
see

pressure and the molecular weight of solid and fused selenium".

1417-0

1941

Se (  $\Sigma_{\text{tot}}$  )

Gupta K. D., Das S. R., Ray B. B.

Indian J. Phys. 1941, 15, 383-99.

"A study of allotropes of selenium by X-ray diffraction method"

C. A. 1942, 4025

B

II-1576

Se ( $T_{t_2}$ )

1943

Dolique R., Peyrot P., Riety. g.

Bull. Soc. chim. 1943, 10, 231;

Chim. Zeit. 1943, II, 1866

a determination of the  
allotopic transition temperature of

5

Mer  
of  $\delta$  rays  
Ver. XII

C.A. 1944, 6156<sup>8</sup>

V.D

Se by measuring the  
polarization of the scattered  
light!

II-911

1943

Silverman, Morey, and Rossini  
1. National Research Counvil Bull.  
107, (1943)

Se;  $T_m$

Te;  $T_b$

Circ. 500

$\kappa, \beta$



$\phi$

Se

1946.

Borelius G.

Paxton R. A.

Tz, S.<sup>o</sup>

C.

BOP - 7004 - 11

Arkiv för Matematik,  
"Astronomi och Fysik"  
1946, 33a, N<sup>o</sup> 7, 1-16.

$H_2Se$  ( $\Delta F_f$ ,  $\Delta S_f$ ,  $E_{\text{deg} \mu H-Se}$ ) 11-99

I947

$H_2S$  ( $\Delta H_f$ )

$\Delta H_f$  ( $HX$ ,  $X=O, S, Se, Te$ )

Kapustinskii A.F., Makolkin I.A., Krishtalik  
J.Phys.Chem.(USSR), I947, 21, 125-35. L.I.

"The chemical affinity between selenium  
and hydrogen and the energetics of the  
elements of the sixth groups of Mendeleev's  
system".

C.A., I947, 6I26i

II-891-BP;

BP-5095-II

1948

Se ( $T_{tr}$ )

Dunoyer J.M.

Compt. rend. 1948, 226, 1524-5.

"A transformation of selenium at low temperature".

Ch.A., 1948, 6689c

b



Eg & V 91

II-881

1950

Sc ( $T_{tr}$ )

Berg A., Pappas A., Haissinsky M.

J. chim. phys., 1950, 44, 382-3

Allotropic transformation of selenium in contact with its ions in solution

He grono-kompycas  
3x

5

C. A., 1951, 4146

2

Se

Курганевский.

1950  
980

"Z. Electrochem"

(C<sub>p</sub>; АНм) 1950, 54, N 4; 275.

БР-1307-  
II

Se

Кубаневский О.

1950

995

Z. Metallkunde

(C<sub>P</sub>)

41, N 12, 445-51.

Die Atomwärmen...

II-910

I950

Se (Cp, T<sub>m</sub>, T<sub>b</sub>, p, H<sub>v</sub>)

Satô, T, Kaneko H.

Technol. Repts. Tôhoku Univ., I950, I4,  
45-54.

Studies on selenium and its alloys.  
I. Physical properties of selenium.

Ch.A., I951, 794Ie

K,5



(92)

1

II-900

Cu<sub>2</sub>S  
Se

—(C<sub>p</sub>, T<sub>tr</sub>)

1951

Mirahara E.

Oyo Butsuri (J. Applied Phys.) 1951, 20,  
278-82.

"The automatic recording of heat-  
capacity measurements".

Б

Успехи в науках  
струн и струны  
Бернштейн, 22  
9/1-64г.

C. A., 1952, 59501

✓P1

Брукс

1952

Te, 82

Brooks L. S.

JAC, 1952, 74, W1, 227-228

Plat)

Чукотка - народ  
Телескоп в солнце

N3-54



II - 9/4

I952

Se( $T_{tr}$ )

Yamamoto S.

Nippon-Kinzoku-Gakkai-Shi., I952, I6, I-6,  
6-I0.

Allotropic transformation of metallic  
selenium. I, II.

Ch.A., I954, 2453e-i

B



(p)-1

II - 888

1953

Se, Te /Cp/

De Sorbo W.  
J. Chem. Phys., 1953, 21: N 4, 764-765  
(анн.)

Concerning the low temperature specific heat of tellurium.

PX, 1954, N 6, 1958I

5



Test p. s. ?? 1

De Cospo

1953

Fe

Desorbo Warren

J. Chem. Phys., 1953, 21, N 7,  
1144-48

$C_p < 298$

B9P-5096-11

Температура кристаллизации  
стекла при низких T-показах

$$S_{298,16} = 10,15 \pm 0,05 \text{ э.д.}$$

(эксперим. выше 15 K  
0,22 э.д.)

(Модель однократно  
с взаимодействием  
установки - no B.B. Tapacoley.)

II-885

1954

C<sub>v</sub>(Se, Te, Hg, In, Sb,  $\beta$ -Sn, Li, Zn, Cd)

De Sorbo W.

Acta metallurgica, 1954, 2, II 2, 274-283

(  
The effect of lattice anisotropy on low-  
temperature specific heat.

PK, 1955, II 12, 23238



Recd 9/2/12.  
E

II-897

I954

T<sub>m</sub> (Ge, Pt, Au, Ag, Cu, P, Se,  
Te, D<sub>2</sub>O)

Goodman C.H.L.

Research, I954, 7, N 5, I68-I77( )

Fractional fusion.

PX, I955, N 8,  
I3595

5



✓ φ

II - 9/2

1954

Te, Se (P)

Silverman S.J., Levinstein H.

Phys. Rev., 1954, 94, N 4, 871-876  
( )

Electrical properties of single  
vrystals and thin films of PbSe and  
PbTe.

PX, 1955, N 7,  
11220

(K)

II-902  
 $\frac{F-O-H}{T}$

1955

(H, He, Li, Be, B, C, N, O, F, Ne, Na, Mg,  
Al, Si, P, S, Cl, Ar, K, Ca, Sc, Ti, V, Cr, Mn, Fe, Co, Ni,  
Cu, Zn, Ga, Ge, As, Se, Br, Kr, Rb, Sr, V, Zr, Nb)

Katz T.J., Margrave J.L.

J.Chem.Phys., 1955, 23, N 5, 983( )

Free energy functions for gaseous atoms  
for hydrogen (Z=1) to niobium (Z=41)

PX, 1956, N 4,  
9307

10



30

CP

II - 924 - ВЯР

1955

Se (T )  
tr

Семилетов С.А.

Тр. ин-та кристаллогр., АН СССР, 1955,  
вып. II, 115-120.

Электрографическое исследование  
структур сублимированных слоев серебра и  
титана.  
РЖМет., 1956, 7814.

b'



ЭГРБНФ1

Se

Smith P.L.

1955

Gp

Bull. inst. intern. froid.

Annexe,

1955, 281



Mleisc

1955

8e

Theis W.

Z. Naturforsch., 1955, 10a, 1196,  
503-504.

Jekimpsoni were crew  
was going to see called.

X-56-23-74201

Se<sub>8</sub>(V<sub>i</sub>), S<sub>8</sub>(V<sub>i</sub>) 2<sup>18.36-II</sup> | 1964.

(Anderson A., Chaudry Q.W.)

Gebbie H.A. + 3

Spectrochim. Acta, 1964, 20(?) 1223-4.

Far infrared spectrum of sulfur  
and selenium.

CA, 1964, 61, W7, 28404.

~~25/10/1964~~ 10/10/1964

Amo, Minnca.

1956

8e

Kazaryj BERNARDZIJE KOTORY.

Repts. Scient. Inst., 1956, 32,

part 2, 24-39.

Holcium scorodog. nov. sp. n.  
Velutinum calcarum genitivus -  
aberrans.

POL - 54-9-30741

Ryukyuou, Myano.

1956

(Re)

Te

Tsuruoi I. Moto Y.

Sci. Repts. Res. Insts. Johore Univ.,  
1956, A8, N°3, 213-222

64, SK Tgalibnai metacollicocin  
malayana et calesta sp.  
oreas russica melanophrys  
var.

BGP-6019-17

X-57-15-47320.

I(TE)

1956

Se

Furcurei T. Muto Y.

Te

Basseiron Kenkyu, N 94, 78-91

Тенденция Te и Se при нагреве.

Cp



1956

PuxTep

Se

Richter H.

Phys. Verhandlungen,  
1956, N6, S. 195

Структура

t.m.  
217°C

Структура кристаллов  
селена от -180 до +420°C

Винев М.И.

1957

8e

Мр. Азарб. Чидчесир. 241-мд,  
1957, квн. 99, 280-287,  
Виневе прислані зоо  
21. макети тварин на Краса-  
нізацію СССР.

-X- 2813-42836

T-884-B91; BP-1107-II

Se, Te ( $T_m$ )

1957

Busch G., Vogt O.

Helv. phys. acta 1957, 30, N 4, 224-227

Magnetische Suszeptibilität vom  
flüssigen Selen and Tellur.

PX, 1958, N 10, 31615



Eg7 ✓  
φ

5

II-890 - ВР; ВР-5093-П

1957

Se ( $\Delta H_{tr}$ ,  $T_{tr}$ )

Dorabialska A., Jakuszewski B., Kwapinski  
Zezs.nauk.Politechn.lodzkiej, 1957, J.  
N 18, 45-46 (польск.)

Термохимические исследования в обла-  
сти аллотропии селена.

РЖХим., 1958, № 16, 52915.

Б



✓ @  
Б

II-893

Se, Te (C<sub>v</sub>)

1957

Fukuroi T., Muto Y.

Sci.Repts.Res.Invts.Tohoku Univ., 1956,  
A8, N 3, 213-222 ( )

Specific heat of tellurium and selenium  
at very low temperatures.

PX, 1957, 47320



SPB φ

5

Чебариков В.В.

1957.

Sec

- VII

Ланина Л.Н.

Sec

6

ZOKh. R.H. СССР. 1957, 114,

Sec

6 0 9 6

105, 1021-1024.

P

-

Georgianische sozial-  
istische Sowjet Republik Tiflis.

Bip

$\log P_{100 \text{ m}} = -4987,3$

$\frac{1}{T} + 8,0783$  (39 area)

X-58-5-13684.



II-918

$A_1(O, S, Se)$

1957

Капустинский А.С., Гимарский Н.В.

Х.общ.химии, 1956, № 26, № 4, 941-948  
(русск.).

Энергия решетки солей, образованных  
ионами с восемьмиэлектронной внешней оболочкой...

РХМ., 1957, 195

10



✓ ϕ

1957

Лапица И.М.

зг

Автореф. дисс. канд. хим.н.,  
Научн. ин-т по удобр. и иссл.-  
развед. гидротехн. изделий им. Я.В. Семёнова  
Переходная линия из  
ниж. гидрообразного сланца и битум-  
ист. силикатов сера-сланца.

р?

Х-58-27926Д



II-915-BP  
Se ( $T_{tr}$ )

Bp - 6097-II

1958

Андреевский А.Н., Набитович Н.Д.  
Научн. зап. Львовск. политехн. ин-т,  
1958, вып. 57, 82-92.

О кристаллизации и структуре селена  
в тонких слоях.

РЖИст., 1959, 24756

B



ЭПНФ1

Se

1958

Kozaciek N.T.

Tm

- 910 - 11

"AE. mex. spiculata"

1958, 28 N 3, 500-5-

B92

"Boeckea subcordata" -  
spiculata "zickzacka" -  
"kroko ciliata"

II-916

Se (P, AH<sub>S</sub>)

1958

Кулиев Э.Я, Шанталынские М. н.

Докт. Акц. Азерб ССР, 1958, 14, №1, 831-834  
(азерб.)

Изучение добавочных неиспользованных норм  
сортов методом радиоактивных изотопов.

K

РНЛ Журн., 1959,  
48726



Эф. ✓ ♂

1958

Se

Кулиев А.А., Шастакитинский М.Г.

изучение физических свойств  
сера Se методом излучения  
ядра  $\Delta_1$  АИ А<sub>3</sub> ССР, 1958, 14, № 11, 832

P (ам)

11

6

5

4

3

2

1

$$\lg P_{\text{мн}} = 8.479 - \frac{506}{T}$$

$$\delta k_T = 22.0 \quad T = 8.6 - 200^\circ\text{C}$$

3

2

1

X-59-14-48726

II-920 Se (P)

1958

Кулиев Я.Я., Шахтахтыский М.Г.

Докл. Академии СССР, 1958, 120, №, 1284-1286

Изучение продуктивности насаждений первых селекционных топок полыни.

(K)

Ю.Н. Кулев, 1959

3827

Вейреко Г.А. 1958.

Дуб Н.Н., Олесова А.Н.,  
Пр. Чин-мо Менгэхурин  
Уральский гос. Универс.,  
1958, Вып 2, 141-148.

Применение радиоактив-  
ных изотопов для изу-  
чения перехода гелика и  
солнца в газовую fazу.

Se

Cu, Se

Ag, Se

Se 75

X-59-4-10990

II-960

1959

Se ( $\Delta H_c$ )

$SeO_2$  ( $\Delta H_f$ )

Гайдарев С.Н., Портиков И.З.

Докт. Акад. Азерб. ССР, 1959, № 15, 5-8,  
267-271 / азэрб./

Темпера образования азуромист соли

1959, 1360, 33943

ИД



test gr. r.

in Se, Te

BP-2410-VI

1959

v. Gattow, Armin Schneider

Angew. Chem. 1959, 71, 5, 189

Das Verfahren zur Messung von Dampfdrücken  
P(at) nach Baur und Brunner.

Показано. способ изометрической адиабаты. Метод  
быстро измеряется при высоких температурах, и возможны экспериментальные  
погрешности. На примере бинарных и термических измерений  
изучены например Zn, Se, Te изложены процессы. Этот метод

+2

BP-II-896



1959

Капсаева Р.И., Абдуллаев  
Г.Б., Кумиев А.А.

Капсаева Р.И., Абдуллаев  
Г.Б., Кумиев Э.А.

Изд. АН АзербССР. Сер. физ.-  
матем. и техн. н., 1959, №3,  
39-44.

К вопросу об испарении  
смеси в вакууме

X-60-12-46057.

1959

Хаников Х.И.

Se

Изв. АН Народсер. Сер.  
физ.-матем. и техн. н.,  
1959, № 6, 67-70.

взято

Взято с издан. распечатано -  
кого сенка.

x-60-24-95506

1960

Se

ЗБ211. О структуре  $\beta$ -кубической модификации селена. Андреевский Л. И., Набитович И. Д. «Кристаллография», 1960, 5, № 3, 465—466.—Электронографическим исследованием тонких слоев (1000—1500 Å) Se, подвергшихся синт. термообработке, установлена возможность существования  $\beta$ -модификации Se с куб. гранецентр. решеткой типа алмаза (РЖХим, 1959, № 19, 67136). Получено значение параметра решетки  $a$  6,04 Å (вместо ранее найденного 5,775 Å), ф. гр.  $Fd\bar{3}m$ . При  $t$ -рах  $> 130^\circ$   $\beta$ -куб. модификация переходит в гексагон. модификацию. Электронномикроскопич. исследование процесса кристаллизации плёнок аморфного Se показывает, что кристаллизация более успешно протекает в электронном микроскопе под действием электронного пучка. Сделан вывод, что роль быстрых электропроводов не сводится к чисто термич. воздействию, но частично заключается в создании специфич. условий (РЖХим, 1960, № 5, 16716), способствующих разрыву связей в молекулах и появлению отдельных атомов Se.

А. Левин

Структура

1961.3

II-895

T<sub>up</sub>, P<sub>up</sub> (Li, Na, K, Rb, Cs, Be, Mg, Ca, Sr, Ba, I960  
Al, Ga, +n, Tl, Si, Ge, Sn, Pb, Sb, Bi, Se, Te, Po, Au, Zn  
Cd, Hg, Mo, W, Mn, Fe, Ni, Pt, Cu, Ag, U)

Gates D.S., Thodos G.  
A.J.Ch.E. Journal, I960, 6, N I,  
50-54 (~~ann.~~)

The critical constants of the  
elements.

PX, I961.

76424.

llc



test p.r.

#1

p-1



1960

*Se*

24B125. О гидролизе селена. Körös E., Schulek E. Über die Hydrolyse des Selens. «Ann. Univ. scient. budapest. Sec. chim.», 1960, 2, 215—220 (нем.).—Исследованы продукты, образующиеся при взаимодействии Se с  $H_2O$  при  $100^\circ$ , а также в водн. р-рах KOH, NaOH при т-ре кипения и  $NH_4OH$  при  $240^\circ$ . Описана установка, применявшаяся для исследования. По мнению авторов, полученные результаты свидетельствуют, что в результате взаимодействия Se и  $H_2O$  образуются  $H_2Se$  и  $H_2SeO_3$ , а при взаимодействии Se с водн. р-рами KOH, NaOH и  $NH_4OH$  — колл. р-ры Se.

В. Рабинович

*x · 1961 · 24*

Se (amorph.)

Prins J.A.

1960

"Non-crystalline Solids. New York -  
London, John Wiley and Sons Inc."  
1960, 392-384.

Аморфные альфа и дельта



I (5-кнед.)

II-913-B9; BP-5043-II

1960.

Sc ( $T_m$ ), Te ( $T_m$ )

Tobisawa S.

Bull. Chem. Soc. Japan, 1960, 33, N 7, 889-893  
(*актн.*)

Magnetic susceptibilities of sulfur,  
selenium and tellurium from room temperature  
to 1100°C.

PX, 1961.

II 253

Expt. Op-1

1961

Se, Sn

The melting curve of tin and selenium to 10,000 bars. Stanley E. Babb, Jr. (Univ. of Oklahoma, Norman). U.S. Dept. Comm., Office Tech. Serv., AD 260,791, 16 pp. (1961). The curves for the m.ps. of Sn and Se are given for the pressure range 0 to 10,000 bars. Details of the equipment and operating procedure are presented.

D. V. Anders

+1

C.R. 1963 SB.10  
9643cf



3281-II

1961

⑧e Balchau A.S., Drickamer H.G.,  
J. Chem. Phys., 1961, 34, 1948.

Tz Se  
non boronatable.

1961

*Se*

21Б305. Превращение аморфного селена в гексагональную модификацию. Eckart F. Zur Umwandlung des amorphen Selens in die hexagonale Modifikation. «Monatsber. Dtsch. Akad. Wiss. Berlin», 1961, 3, № 3-4, 183—186; «Z. Naturforsch.», 1961, 16b, № 7, 469—470 (нем.).—Проведены опыты кристаллизации селена, чистого и с добавками брома. Добавка 0,012% брома снижает т-ру кристаллизации селена с 150 до 120°.

Д. А.

*Х. 1962. 21*

Sn ( $T_m$ )  
Se ( $T_m$ )

11 1407-BP

Bp - 85 84 - II

1969

Babb S. E.

J. Chem. Phys., 1969, 37, N4, 922-923 (au.)

Melting curves of tin and selenium,  
to 10 000 bar. 1-2

P/H Kev. 1963  
125459

6 Eq. 6 open (P)

Se  
Hn, Pb,  
Na, Sb, Bi

Denison G. W.

1962

P, K, SHv,

Изучение атомизации в парах некоторых  
металлов.

R.

" Diss. Abstr.

", 1962, 23, № I, 85

(см. № I)

Ф. 1963. 86

1962

Se

Gattow G.

'N

Z. anorg. und allgem. Chem.

1962, 394, N 3-4, 245.

Ttr

5087  
- 50 -  
80

Живильное образование  
 $SeO_2$  и механизмы прев-  
 ращения : исследований  
 имена.

X-1963-215167

I ( $SeO_2$ )

Se

1962

2 Б385. Относительная скорость реакций взаимодействия некоторых селенидов и элементарного селена с серной кислотой. Гецкин Л. С., Яцук В. В. «Ж. прикл. химии», 1962, 35, № 11, 2546—2548

Рассчитаны константы равновесия р-ций взаимодействия Se (I) и MSe (M=Pb, Zn, Cu, Ag) с  $H_2SO_4$ , взятой в различных соотношениях для обеспечения возгонки I по схемам  $MSe + H_2SO_4 \rightarrow MSO_4 + SeO_2 + Se + SO_2 + H_2O$  и  $MSe + H_2SO_4 \rightarrow MSO_4 + SeO_2 + SO_2 + H_2O$ . Р-ция  $Se + 2H_2SO_4 \rightleftharpoons SeO_2(тв.) + 2SO_2 + 2H_2O$  при  $t > 250^\circ$  протекает слева направо, а при  $t < 250^\circ$  — справа налево, р-ция взаимодействия  $Ag_2Se$  с  $H_2SO_4$  ниже  $200^\circ$  термодинамически маловероятна, остальные р-ции MSe с  $H_2SO_4$  возможны. Для определения степени протекания р-ций проводился обжиг смеси  $PbSe + I + H_2SO_4$  в фарфоровых лодочках в токе воздуха (50 мл/мин). Кол-во I, перешедшее в газовую фазу, определялось по убыли веса навески. Используя литературные данные по скорости взаимодействия  $Cu_2Se$  и  $Ag_2Se$  с  $H_2SO_4$ , авторы приходят к выводу об уменьшении скорости взаимодействия в ряду  $PbSe—I—Cu_2Se—Ag_2Se$ . Л. Резницкий

✓ 1964.9

1962

# Se (up)

## 9991 THERMODYNAMIC PROPERTIES AND GEO-CHEMISTRY OF ISOTOPIC COMPOUNDS OF SELENIUM.

H. R. Krouse and H. G. Thode (McMaster Univ., Hamilton, Ont.). Can. J. Chem., 40: 367-75(Feb. 1962).

Using normal vibration equations and statistical mechanics, the isotopic vibrational frequencies and the partition function ratios for various  $\text{Se}^{76}$ - and  $\text{Se}^{82}$ -containing compounds were calculated. The equilibrium constants for selenium isotope exchange reactions derived from these partition function ratios indicate that noticeable fractionation of selenium isotopes can be expected in the laboratory and in naturally occurring processes. The  $\text{Se}^{82}/\text{Se}^{76}$  ratios for 16 natural samples were compared mass spectrometrically. Variations of up to 1.5% found in this ratio are discussed. A kinetic isotope effect of 1.5% found in a chemical reduction of selenite ion to elemental selenium is also discussed. (auth)

Tepius.

Chesche

NSA-1962-16-9

Kyoto, Yutoroku

1962

Se

P, 011

302-1601

Determination of the pressure of the saturated vapors of selenium and tellurium: A. A. Kudryatsev and G. P. Ustyugov. *Tr. Mosk. Khim.-Tekhnol. Inst.* No. 38, 42-6(1962). The temp. dependence of the pressure was detd. by the b.p. method in a special app. The pressure of the satd. vapors of Se and the temp., resp., are: 13, 442.5; 20, 462.3; 30, 481.4; 38, 494.0; 50, 508.8; 68, 524.5; 90, 541.2; 115, 555.0; 150, 572.0; 190, 585.5; 250, 604.5; 330, 622.3; 440, 643.7; 600, 667.0; and 760 (mm.), 685.4. These results treated by the least sqs. method gave the following expression for Se:  $\log p = -6010.7/T + 8.1105$ , and the heat of evapn. of Se was  $\Delta H = 22.92 \text{ kcal./mole}$ . The values obtained for Tc were: 13, 646.0; 20, 672.0; 30, 700.5; 38, 717.5; 50, 737.0; 68, 761.0; 90, 711.8; 115, 803.0; 150, 825.5; 190, 846.5; 250, 872.7; 330, 901.0; 450, 932.3; 600, 964.0; and 760 (mm.), 990.2. These results gave:  $\log p = -5960.5/T + 7.5992$  and  $\Delta H = 27.26 \text{ kcal./mole}$ . 17 references. Jean Plamondon

C.A. 1964.60 2  
1134 h

1962

Se

11 Б466. Определение давления насыщенных паров селена и теллура. Кудрявцев А. А., Устюгов Г. П. «Тр. Моск. хим.-технол. ин-та им. Д. И. Менделеева», 1962, вып. 38, 42—46

Методом точек кипения измерены давления паров селена (99,992%) и теллура в области от 13 до 760 мм рт. ст. Методом наименьших квадратов получены уравнения: для селена  $\lg p$  (мм рт. ст.) =  $-5010,7/T + 8,1105$ ;  $\Delta H$ (исп.) = 22,92 ккал/моль; для теллура  $\lg p$  (мм рт. ст.) =  $-5960,5/T + 7,5992$ ,  $\Delta H$ (исп.) = 27,26 ккал/моль, так как  $990,1 \pm 1,0^\circ$ . Описан метод измерения.

B. C.

+1



x. 1964. II

1963

Se 23 Б542. Кинетика кристаллизации переохлажденного селена. Hasegawa Shigeo, Nishimura Norio, Tsuneto Toshio, Ogasawara Takanobu. The kinetics of crystallization of supercooled selenium. «Repts Res. Lab. Surface Sci., Fac. Sci., Okayama Univ.», 1963, 2, № 3, 101—106 (англ.)

Кинетика  
Кристаллизации

Исследованы кинетика кристаллизации аморфного селена дилатометрическим методом и размер образующихся кристаллитов по дифракции рентгеновских лучей. Стеклообразный Se измельчался и делился на фракции по размеру частиц. Отдельные фракции помещались в дилатометр, заполненный жидким парафином. Степень кристаллизации определялась по уд. объему. Показано, что скорость кристаллизации пропорциональна поверхности частиц. Проверка результатов по ур-нию Аврами, предложенному ранее (Аврамі М., «J. Chem. Phys.», 7,

г. 1964. № 3

1103; 1940, 8, 212; 1941, 9, 177), показала, что в процессе кристаллизации можно выделить две стадии. Размеры кристаллитов пропорциональны логарифму времени кристаллизации, число их во время главной стадии кристаллизации остается постоянным.

Л. Ефанов

1963

B9P-5084-11

(Se)

(Te)

Calculations on the low-temperature specific heat of selenium and tellurium. L. S. Kothari and V. K. Tewary (Univ. Delhi, India). *J. Chem. Phys.* 38, 417-19(1963). A model of lattice vibrations for linear lattices is proposed in which longitudinal and transverse components of vibrations are considered sep., unlike the model proposed by Tarasov (*CA* 44, 4742f). This model was applied to interpret the sp. heat data for Se and Te obtained by DeSorbo (*CA* 48, 6805a). Agreement with the exptl. results is good.

CA

Cp

spn mag.

T-pax

B9I-11-1625

C.A. 1963-58-8

4437a

B

1963

Se 4 Б357. Вычисление теплоемкостей селена и теллура при низких температурах. Kothari L. S., Tewari V. K. Calculations on the low-temperature specific heat of selenium and tellurium. «J. Chem. Phys.», 1963, 38, № 2, 417—419 (англ.)

Предложена модель для вычисления теплоемкости одномерной решетки. Предполагается, что функция распределения частот дается равенствами  $g(v)dv = Av^2dv$  при  $0 < v < v_1$ ,  $g(v)dv = Bdv/(v_2^2 - v^2)^{1/2}$  при  $v_1 < v < v_2$  и  $g(v) = 0$  при  $v > v_2$ , где  $A = N/\Delta v_1^3$ ;  $B = [(1/\delta^2) - 1]^{1/2} \cdot (N/\Delta)$ ;  $\Delta = 1/3 + [(1/\delta^2) - 1]^{1/2} (\pi/2 - \arcsin \delta)$ ;  $\delta = v_1/v_2$ ;  $N$  — число частиц. Значения  $v_2$  для продольных и поперечных колебаний считаются, в отличие от предложенной ранее модели (Тарасов В. В., «Ж. физ. химии», 1950, XXIV, 1, 111), различными. Рассматриваемая модель использована для интерпретации эксперим. данных о теплоемкостях селена при 15—300° К (РЖХим, 1954, № 23, 49484) и теллура при 14—300° К (РЖХим, 1954, № 6, 19581). Сравнение вычисленных значений теплоемкостей с экспериментальными показывает, что эта модель описывает эксперим. данные лучше модели Тарасова почти при всех т-рах для обоих элементов. Н. Попов

Ср расчет

111

5084

1

1

590

590

X. 1964

· 4

+1



Le (u) 102 (river crucianus), XII 68) 1963

Massen C.H., Poulik J.A.,

Magnetic analysis of the  
molecular structure liquid  
and gaseous Selenium. abstract  
"Limpas molec. struc and spectra.  
Columbus, 1963", Columbus, Ohio

43-49

px65

540.



Baughers

Tl<sub>2</sub>Se, TlSe, Tl<sub>2</sub>Se<sub>3</sub>, Tl<sub>2</sub>S, Tl<sub>2</sub>O, Sb<sub>2</sub>Se<sub>3</sub>, KCl, 1963  
HgSe, HgTe (P, ΔH<sub>s</sub>) II - 1616  
Se, Se<sub>2</sub>, Se<sub>6</sub>, Se<sub>9</sub> | A.P.) III

Шахакиринский M.T.

Турук. Чиркул Фуз., АН Азерб. ССР, 1963, II, 52-1;

Исследование явлений насыщенных  
наркотических раздражителей национальных  
различных наркотических

то, к ЕГТВ ф. №

СА 1963, № 4, 34172  
Регистр.

Se

Lomnick 102641 1963

Shuiman &

(P) Thesis. Universitet Columbia,  
School of Eng. and Appl. Sci.,  
Ohio, 1963.  
Vapor pressure of Rb, Na-Rb  
alloy and selenium.

Se

1963

1) 15 Б336. Вязкость и молекулярный вес жидкого селена. Сираи Тосиаки, Хамада Сюити Кобаяси Кэн. «Нихон кагаку дзасси, Nippon kagaku zasshi, J. Chem. Soc. Japan. Pure Chem. Sec.», 1963, 84, № 12, 968—972, A68 (японск., рез. англ.)

Измерены вязкости жидких Se и хлористого селена в интервале т-р 220—240°. Вязкость хлористого селена  $Se_nCl_2$ , среднеарифметич. длина цепочки вида  $Cl—Se—Se\dots—Se—Cl$  и плотность при т-ре 230° табулированы для процентного содержания хлора от 0 до 0,281. Увеличение содержания  $Cl_2$  понижает вязкость от 22,64 пузаз для чистого Se до 0,726 пузаз для 0,281% хлора. Обнаружена линейная зависимость между логарифмом среднеарифметич. длины цепочки ( $lg Z_n$ ), которая вычислялась по содержанию  $Cl_2$ , и логарифмом вязкости:  $lg \eta_{230}(\text{пузаз}) = 1,073 \lg Z_n - 2,785$ , где индекс 230 означает т-ру. Обнаружено также, что линейная зависимость между средневзвешенной длиной цепочки и вязкостью, установленная для некоторых органич. полимеров, при-

близко  
М.в.

Х. 1964. 15

ближенно применима и для неорганич. цепного полимера — жидкого Se. Экстраполяцией указанного соотношения найдено, что среднеарифметич. длина цепочки чистого жидкого Se равна  $7,2 \cdot 10^3$  (среднеарифметич. мол вес равен  $5,7 \cdot 10^5$ ). Заметная энергия активации вязкого течения жидкого Se уменьшается с уменьшением длины цепочки.

Из резюме авторов



1964

Se Bestuel A.B., Chang S.S.

S

Z. Chem. Phys., 1964, 40, 3731 (n12)

Установлено электронной спектроскопией  
влияние излучения на превращение  
серы.

(см.  $B_2O_3$ )

Se

Bever M.B. u gr.

1964

AD 606470

ΔH p-реакции

Avail. OTS, 44 pp. (1964)

b Bi

Исследований меридиональных  
и меридианских сб-в соединений  
Zn-мнг II, IV, V и VI групп.

(Cu<sub>2</sub>Se<sub>3</sub>)I

1964

Se

 $Se_2, Se_6$ 

p

B9P-5083-11

) 3 Б487. Селен. Возможное рабочее тело цикла Ранкина. Bonilla C. F., Shulman G. Selenium: possible Rankine-cycle fluid. «Nucleonics», 1964, 22, № 3, 58, 60 (англ.)

На установке, подобной описанной ранее (РЖХим, 1963, 23Б345), в интервале 473—894° измерено давление насыщ. пара селена.  $\lg P(\text{атм.}) = 5,72236 - 5486,18/T$ . Относительная ошибка измерений  $\pm 1,3\%$ . Нормальная т. кип. Se равна 685,53°, что на 2,5° ниже значения, принятого в литературе. В интервале 300—1093,33° вычислены и табулированы давление насыщ. пара, плотность пара, теплота парообразования селена, атомные доли и парц. давления  $Se_2$  и  $Se_6$ . Указывается возможность применения селена в качестве рабочего тела в цикле Ранкина для ядерных энергетич. установок. В. Байбуз



x. 1965.3

1964

Se

3 Е310. Параметры кристаллической решетки и удельный объем полуметаллического селена при температурах от 298 до 490° К. Изменение объема при плавлении. Воппиег Этьенне, Никер Пьерре, Альеонард Сюзанн, Лагье Жан. Paramètres cristallins et volume spécifique du sélénium semi-métallique de 298 à 490° K. Variation de volume à la fusion. «С. г. Acad. sci.», 1964, 258, № 20, 4967—4970 (франц.)

Рентгенографическим методом определены параметры  $a$  и  $c$  гексагр. решетки Se в интервале т-р 298—490° К. Параметр  $a$  линейно возрастает при нагреве (температурий коэф.  $74,9 \cdot 10^{-6} \text{ } 1/\text{ }^{\circ}\text{C}$ ), параметр  $c$  уменьшается (температурий коэф.  $-17,4 \cdot 10^{-6} \text{ } 1/\text{ }^{\circ}\text{C}$ ). Сравнение полученного расчетным путем значения плотности Se при т-ре, близкой к  $T_{\text{пл}}$ , с известными данными о плотности жидкого Se показывает, что при плавлении объем Se увеличивается ( $\Delta V/V = 16,8\%$ ). И. Бокшицкий

Ф. 1965. 38

Se

1964

16 Б233. Параметры и объем решетки полуметаллического селена при 298 и 490° К. Изменение объема при плавлении. Bonnier Etienne, Hicter Pierre, Aléonard Suzanne, Laugier Jean. Paramètres cristallins et volume spécifique du sélénium semi-métallique de 298 à 490° K. Variation de volume à la fusion. «С. г. Acad. sci.», 1964, 258, № 20, 4967—4970 (франц.)

Рентгенографически (дифрактометрич. метод порошка) изучено изменение параметров гексагон. решетки Se в интервале 298—490° К. Отмечается отсутствие аллотропного перехода во всех областях т-р, сильное увеличение параметра  $a$  (коэф. расширения  $\alpha = +74,9 \cdot 10^{-6}$ ) и сокращение параметра  $c$  ( $\alpha = -17,4 \cdot 10^{-6}$ ). При тех же т-рах установлено линейное расширение объема  $V: V = 0,2078 + 28,4 \cdot 10^{-6}$  [T—298]. Найденное изменение объема при плавлении  $\Delta V/V = \pm 16,8\%$ . Н. Баталцева

Х-1965-16

Se(a)

Chaudhari P, Bever M.

1964

577, n 7, copy. 57.

SET.

Se.

Ferrier A.

1964

5 TT, N 7, cmp. 100.

thermodynamics of selenium . . .

Se 11 Б527. Термохимия селена. II. Превращения кристаллических модификаций селена. Gattow G., Heinrich G. Thermochemie des Selens. II. Die Umwandlungen der kristallinen Selen-Modifikationen. «Z. anorgan. und allgem. Chem.», 1964, 331, № 5—6, 256—274 (нем.; рез. англ.)

*Cp*  
 $H_T - H_{298,2}$

Методом смешения измерена энталпия ( $H_T - H_{298,2}$ ) и вычислены теплоемкость  $C_p$  гексагонального (I) и моноклинного (смесь крупных кристаллов красного  $\alpha$ -селена и черно-серых игл  $\beta$ -селена) (II) селена в области от  $-192$  до  $+266^\circ$  и от  $-166$  до  $+141^\circ$  соответственно. Подробно описаны очистка селена и приготовление образцов исследуемых модификаций. Образцы, помещенные в ампулу из пирекса, подогревались (или охлаждались) в Си-блоке. Калориметром служил сосуд из полиэтилена, калориметрич. жидкость — вода. Т-ра измерялась Pt-термометром с усилителем и самописцем с точностью  $\pm 0,0005^\circ$ . Тепловое значение определяли электрич. методом (точность  $\pm 0,3\%$ ). Результаты из-

1964  
ХIII-Б91  
299-Б91

х. 1965. 11

мерения ( $H_t - H_{298,2}$ ) I и II. (точность  $\pm 20$  кал/г атом) представлены графически и в виде ф-л. Обнаружен обратимый переход 2-го рода I при  $+106 \pm 1^\circ$ . Рентгенографич. исследование показало, что структура кристаллич. решетки I при переходе не изменяется. Авторы связывают этот переход с исчезновением дефектов решетки. Т-ра плавления I  $+221 \pm 1^\circ$ , теплота плавления равна  $1,6 \pm 0,4$  ккал/г атом. Для II обнаружено 3 обратимых перехода 2-го рода: при  $-120 \pm 2^\circ$ ,  $+15 \pm 1^\circ$  и  $+30 \pm 1^\circ$ . При  $+110^\circ$  начинается необратимый переход II  $\rightarrow$  I. Теплоты всех обнаруженных переходов II 2-го рода малы ( $0 \pm 20$  кал/г атом). Из измеренных ( $H_t - H_{298,2}$ ) вычислены и табулированы  $C_p$  I и II, которые приведены также в виде ф-л раздельно для каждого интервала между переходами. При  $25^\circ C_p$  I и II равны  $6,7 \pm 0,4$  и  $8,5 \pm 0,4$ , а энтропии  $11,7 \pm 0,5$  и  $11,7 \pm 2$  кал/г атом град соответственно. Обсуждены обнаруженные переходы в I и II. Библ. 73 назв. Сообщение I см. РЖХим, 1963, 21Б167.

В. Колесов

1964

Se

Thermochemistry of selenium. II. Conversions of crystalline selenium modifications. G. Gattow and G. Heinrich (Univ. Goettingen, Ger.). *Z. Anorg. Allgem. Chem.* 331 (5-6), 256-74(1964)(Ger). The enthalpies of borosilicate glass and hexagonal and monoclinic Se were detd. by the drop method from -180 to 270°. General equations are given for the enthalpy, sp. heat, and entropy of borosilicate glass, and hexagonal and monoclinic Se. The hexagonal Se has a reversible endothermic conversion at  $106 \pm 1^\circ$  while monoclinic Se has reversible endothermic conversions at  $-120 \pm 2^\circ$ ,  $15 \pm 1^\circ$ , and  $30 \pm 1^\circ$ . The heat of conversions for these processes amounts to  $0 \pm 20$  cal./g.-atom. On heating, the monoclinic Se converts irreversibly and exothermically to hexagonal Se at 110°. This hexagonal Se melts at  $221 \pm 1^\circ$  with a heat of melting of  $1.6 \pm 4$  kcal./g.-atom. At 25°,  $C_p = 6.7 \pm 0.4$  cal./degree g.-atom and  $S_{298.2} = 11.7 \pm 0.5$  cal./degree g.-atom for hexagonal Se, and  $C_p = 8.5 \pm 0.4$  cal./degree g.-atom and  $S_{298.2} = 11.7 \pm 2$  cal./degree g.-atom for monoclinic Se. 73 references.

Cp 4 T.2  
Tc2

VII-1601

C.A. 1965-62-7  
4177f

B.P.

Декрат. ( $\Delta H$ ,  
 $C$ ,  $S$ ,  $T_{cr}$ ,  $T_m$ ,  
 $\Delta H_{cr}$ ,  $\Delta H_m$ )

Gattow G., Heinrich G.

1364

Z. anorg. u. allgem. Chem., 1964, 331, 256

Термохимия селена. II. Превращения  
кристаллического модифицированного селена  
измерено  $H_T - H$  при  $90 - 540^\circ K$

$C_p \text{ Se(рекс)} = 6,7 \pm 0,4 \text{ кал} ; S_{298}^{\text{исч}} = 11,7 \pm 0,5 \text{ э.е.}$

$C_p \text{ Se(монокл)} = 8,5 \pm 0,4 ; S_{298}^{\text{исч}} = 11,7 \pm 2$

$\gamma$  Se (рекс) имеет ф. н. обратимый,  $\Delta H = 0 \pm 20 \text{ кал}$

$\gamma$  Se (монокл) ф. н. необратимое (при  $-120 \pm 2^\circ C$ ,  $+15 \pm$

$\Delta H = 0 \pm 20$   $u \pm 30 \pm 1^\circ$ .

$\text{Se(монокл)} \rightarrow \text{Se(рекс)}$  при  $+110^\circ$  (необратимо, экзотерм.)

БД

1/1-60/1

1/1-60/1

$\Delta H_m \text{ Se(wcc)} = 1,6 \pm 0,4 \text{ kJ/mol}$  npr  $2,21 \pm 1^\circ\text{C}$

Se

11 Б528. Термохимия селена. III. Превращения аморфных модификаций селена. Gattow G., Heinrich G. Thermochemie des Selen. III. Die Umwandlungen der amorphen Selen — Modifikationen. «Z. anorg. und allgem. Chem.», 1964, 331, № 5—6, 275—288 (нем.; рез. англ.)

1964

Описанным выше методом (реф. 11Б527) измерены ( $H_T - H_{298,2}$ ) и  $C_p$  стеклообразного (I), красного аморфного (II) и черного аморфного (III) селена. Подробно описано приготовление образцов I и II. Измеренные ( $H_T - H_{298,2}$ ) представлены графически и в виде ф-л. Для I в исследованном интервале от  $-176$  до  $+93^\circ$  обнаружено три обратимых перехода с теплотами перехода  $40 \pm 20$ ;  $30 \pm 20$  и  $0 \pm 20$  кал/г атом соответственно при  $-145 \pm 2^\circ$ ;  $+11 \pm 1^\circ$  и  $+30 \pm 1^\circ$ . Выше  $+75^\circ$  происходит превращение I в Se гексагональный. Рентгенографич. исследование I при  $-160$ ,  $-60$  и  $+20^\circ$  показало, что во всех трех случаях образец остается аморфным.

Cp

ХIII-603

Б99

Х-1965-11

Измерение  $(H_t - H_{298})$  II в интервале от  $-168^\circ$  до  $+89^\circ$  обнаружило два обратимых перехода при  $-134 \pm 2^\circ$  и  $+10 \pm 1^\circ$  с теплотами перехода  $160 \pm 20$  кал/г атом и  $60 \pm 20$  кал/г атом соответственно. При  $+30^\circ$  происходит необратимое превращение II  $\rightarrow$  III, который, в свою очередь, при  $t^\circ > +80^\circ$  превращается в Se гексагональный. Таким образом, III не является особой модификацией Se. Рентгенографич. исследование II при  $-160^\circ$ ,  $-60^\circ$  и  $-20^\circ$  показало аморфный характер образца. Из измеренных  $(H_t - H_{298,2})$  вычислены, табулированы, а также приведены в виде ф-л  $C_p$  I и II. При  $25^\circ$   $C_p$  I и II равны  $8,6_9 \pm 0,4$  и  $9,7_1 \pm 0,4$  кал/г атом, а энтропии  $11,5 \pm 2$  и  $12,5 \pm 2$  кал/г атом соответственно. Обсужден характер обнаруженных фазовых переходов. Сообщение II см. реф. 11Б527.

В. Колесов

Seанопп (T<sub>tr</sub>, Gattow G., Heinrich G.)

1964

ΔH, ΔH<sub>tr</sub>, S, C) Z. anorg. u. allgem. Chem., 1964, 331, 15-6, 27.

BPT-XIII-CP2

Термокимия селена. III. Превращение  
аморфных модификаций селена.  
Измерено ΔH<sub>i</sub>? в интервале -180 ÷ +100°C

Se красн., амор. → Se зерн. ΔH<sub>25</sub> = -3,1 ± 0,4 ккал

Se черн. амор. → Se зерн. ΔH<sub>25</sub> = -3,2 ± 0,5

Se красн., аморф. : S<sub>208,2</sub> = 12,5 ± 2 з.е.

Cp = 9,71 ± 0,4 ккал

Se красн. превращ. неоднично > +30°C & Se черн. и

на осн.

$> 80^{\circ}\text{C}$  ъде некор. ѳе красн. акој. пређеревалој  
2 одрај. ондођерни. превраћене:

$$\Delta H_{-134^{\circ} \pm 2} = 160 \pm 20 \text{ kJ/mol}$$

$$\Delta H_{10^{\circ} \pm 1^{\circ}\text{C}} = 60 \pm 20 \text{ kJ/mol}$$

Conversion of amorphous selenium modifications. *J. Am. Chem. Soc.* 80, 275-88. The thermodynamics of vitreous, red amorphous, and black amorphous Se were detd. calorimetrically by the drop method between -180 and 100°. Vitreous Se possesses 2 endothermic reversible conversion points at  $-145 \pm 2^\circ$  and  $11 \pm 1^\circ$  in addn. to the glass transformation point at  $30 \pm 1^\circ$ . Above 75° the vitreous Se goes to hexagonal Se by an exothermic irreversible conversion. The heats of transformation are:  $\Delta H_t = 40 \pm 20$  cal./g.-atom at  $-145^\circ$ ,  $\Delta H_t = 30 \pm 20$  cal./g.-atom at  $11^\circ$ , and  $\Delta H_t = 0 \pm 20$  cal./g.-atom at  $30^\circ$ . The red amorphous Se has endothermic reversible transformations:  $\Delta H_t = 160 \pm 20$  cal./g.-atom at  $-134^\circ$ , and  $\Delta H_t = 60 \pm 20$  cal./g.-atom at  $10^\circ$ . Above 30° the red amorphous Se goes irreversibly to black amorphous Se which goes irreversibly to hexagonal Se above 80°.  
64 references.

James O. Wear

A. 1965-62-7  
7/77gh

Se

22 Б335. Об электропроводности и зонной структуре гексагонального Se. Gobrecht H., Tausend A. The conductivity and band structure of hexagonal selenium. «Phys. semiconduct.» Paris, 1964, 1189—1200. Discuss., 1200 (англ.)

1964

Разработан метод измерений конц-ии и подвижности носителей ( $\mu$ ) в высокоомных полупроводниках. Метод использован для исследований электрич. свойств Se. Зависимость электропроводности ( $\sigma$ ) от т-ры имеет максимум, величина которого определяется уровнем легирования. Зависимость  $\mu$  от т-ры следует экспоненциально закону. При этом выполняется правило: высокой энергии активации ( $\Delta E$ ) отвечает низкая  $\mu$ . При особенно низких  $\mu$  величина  $\Delta E$  может достигать значения оптич. ширины запрещенной зоны  $\sim 1,8$  эв, причем  $\Delta E$  сильно зависит от термич. обработки образцов. Установлено соотношение между работой выхода и  $\mu$ . Показано, что наблюдающиеся закономерности поведения  $\mu$  не могут быть интерпретированы на основе существующих теорий рас-  
сения носителей. Предложена и обсуждается модель процессов переноса в Se.

А. Ждан

Х-1965-22

Se

15 Б535. Изучение методом определения вязкости влияния давления (до 4 кбар) на процесс полимеризации жидкого селена. Harrington D. E. Effect of pressures (up to 4 kbar) on the polymerization of liquid selenium from measurements of viscosity. «J. Chem. Phys.», 1964, 41, № 3, 844—849 (англ.)

1964

С помощью вискозиметра с вращающимся шариком в интервале т-р 220—350° С и при давлениях 4 кбар производилось измерение вязкости жидкого Se. Чистота Se составляла 99,999%. Путем экстраполяции данных по вязкости при разных давлениях к т-ре кристаллизации получено изменение величины вязкости вдоль кривой плавления гексагон. Se. Экстраполяцией установлено, что при давл. 6 кбар вязкость Se должна составлять 0,2 ее исходной величины и возрастать при дальнейшем росте давления. Наклон зависимости логарифма вязкости от  $1/T^2$  ( $T$  — в °К) не зависит от давления вплоть до 4,5 кбар. Анализ влияния давления на степень полимеризации Se в рамках развитой ранее теории (РЖХим, 1961, 14Р120) показывает, что давление оказывает слабое влияние на среднюю длину цепочки Se. Минимуму

Х. 1965. 15

вязкости на кривой плавления соответствует равновесие между влиянием укорачивания цепочек Se, что уменьшает вязкость, и уменьшение свободного объема, что увеличивает вязкость.

Б. Туровский

3770

12

1964

$\text{Sb}_2\text{Se}_3$ ;  $\text{Bi}_2\text{Se}_3$ ;  $\text{Sb}_2\text{Te}_3$ ;  $\text{Bi}_2\text{Te}_3$ ;  
Se; Te; ( Hag);  $\text{Sb}_2\text{Te}_3$ ;  $\text{Bi}_2\text{Te}_3$  ( Hm,  
Tm, Sm)

Howlett B.W., Misra S., Bever M.B.  
Trans. AIME, 1964, 230(6), 1367-72

Thermodynamic properties ...

M, Be

3

Se(аморф.)

Sb

As

1964

1) 22 Б293. Новое определение ближнего порядка в стеклообразном селене, во взрывчатой сурьме и в  $\beta$ - и  $\gamma$ -мышьяке. Krebs H., Steffen R. Neubestimmung der Nahordnung im glasigen Selen, im explosiven Antimon und im  $\beta$ - und  $\gamma$ -Arsen. «Z. anorgan. und allgem. Chem.», 1964, 327, № 3—4, 224—237 (нем., рез. англ.)

С помощью камеры Брэгга — Брентано изучена дифракция рентгеновских лучей на аморфных Se, Sb и As. Межатомные расстояния в исследованных формах Se, Sb и As только на 0,01—0,02 Å меньше, чем в соответствующих кристаллич. формах. Координационные числа (КЧ) равны: в стеклообразном Se 2,1, в так называемой взрывчатой Sb 2,8, в  $\beta$ - и  $\gamma$ -As 3,0, то есть в каждом случае соответствуют валентности элемента. Заниженное значение КЧ для Sb (2,8 вместо 3,0) авторы приписывают наличию во взрывчатой Sb хлора и кислорода

(+2)

к. 1964 № 22



(содержание Sb в продукте 93,3 вес. %). Часть атомов Sb, в качестве ближайших соседей имеет 2 атома Sb и один атом Cl или O. В то же время присутствие последних почти не сказывается на характере рентгенограммы. Сравниваются некоторые модели ближайшего окружения атомов с полученными кривыми радиального распределения.

В. Павловский

Se

XII - 643

1964

11 Б439. Удельный объем жидкого селена как функция температуры. Lucas Louis-Didier, Urbain Georges. Volume spécifique du sélénium liquide en fonction de la température. «С. г. Acad. sci.», 1964, 258, № 26, 6403—6406 (франц.)

*Уд. объем*,  
Коэф.  
расширения

Удельный объем очень чистого жидкого Se измерялся методом погружения в него вольфрамового плунжера при 172—400°. Измеренные уд. объемы ( $v$ ), их среднеарифмич. значения, средние плотности ( $\rho$ ), ат. объемы и температурный коэф. измерения уд. объема  $dv/dt$  табулированы для 200, 217, 250, 300, 350 и 400°. Найденный с точностью 4% коэф. об. расширения Se ( $\alpha = 309 \cdot 10^{-6} \text{ град}^{-1}$ ), вдвое больше значения, полученного ранее дилатометрически. По среднеарифмич. значениям получено:

$$v_{(\text{жидк.})} = 0,2492 [1 + 309 \cdot 10^{-6} (T - 490)] \text{ см}^3/\text{г},$$

где  $T$  — абр. т-ра и 490° К — т-ра плавления Se. Для жидкого Se при т-ре плавления получено:

26.1965.11.

$$v_{(\text{жидк.})} = [0,2492 \pm 11 \cdot 10^{-4}] \text{ см}^3/\text{г},$$

$\rho_{(\text{жидк.})} = [4,01 \pm 0,02] \text{ г/см}^3$ . При использовании литературных данных для твердого Se:  $v_{(\text{тв.})} = 0,2078 + 28,4 \cdot 10^{-6} (T - 298)$  найдено, что относительное изменение объема Se при плавлении равно +16,8%.

---

Д. Костромичева

Se

1964

У1 Б478. Рентгенодифрактометрическое исследование кинетики кристаллизации селена. Мамедов К. П., Нуриева З. Д. «Кристаллография», 1964, 9, № 2, 271—273

Проведено рентгеновское исследование кинетики перехода Se (99,996%) и Se с примесью 0,025 Вг из аморфного состояния в кристаллическое (в гексагон. модификацию). Кинетика кристаллизации была характеризована кривой изменения интенсивности определенной интерференционной линии рентгенодифрактометра, полученной при неподвижном счетчике (в положении  $2\theta_{hk\bar{l}}$ ) при данной т-ре ( $403—473^{\circ}$  К). В предположении пропорциональности скорости кристаллизации и роста интенсивности в области линейного роста последней рассчитана энергия активации кристаллизации. Результаты показывают, что введение Вг в аморфный селен существенно влияет на энергию активации кристаллизации, которая имеет порядок 26 ккал/моль для чистого Se и 12 ккал/моль для Se с примесью Вг.

По реферату авторов

X·1965·1

1964

Se( $\pi, 2$ )

6 Б523. Магнитная восприимчивость жидкого и газообразного селена. Massen C. H., Weijts A. G. L. M.,

Poulis J. A. Magnetic susceptibility of liquid and gaseous selenium. «Trans. Faraday Soc.», 1964, 60, № 2, 7-322 (англ.)

РНХ, 1966

Se

XII-786-BP

1964

13 Б461. Определение кривой плавления селена при давлениях от 9 до 40 кбар методом дифференциального термического анализа. Susse Christiane, Epain Raymond. Détermination de la courbe de fusion du sélénum par analyse thermique différentielle sous pression entre 9 et 40 kbars. «С. г. Acad. sci.», 1964, 259, № 21, 3756—3759 (франц.)

Кривая плавления  
Методом дифференциального термич. анализа определена кривая плавления серого Se при давлении 9—40 кбар. Показано, что т-ра плавления Se возрастает с давлением медленнее, чем по закону Симона. Результаты измерений сопротивления поликристаллич. образцов Se в зависимости от давления при давл. >40 кбар не подтверждают существования фазового перехода при 42 кбар, описанного Бриджменом (Bridgman P. W. «Proc. Amer. Acad. Arts and Sci.», 1952, 81, 165) по предварительным данным указанное превращение протекает при 58 кбар и ~640°. В. Тихонов

Х. 1965.13

XII-786-BP

1964

Se

Determination of the melting curve of selenium by differential thermal analysis under pressures of 9-40 kilobars. Christiane Susse and Raymond Epain (C.N.R.S., Bellevue, France). *Compt. Rend.* 259(21), 3756-9(1964)(Fr). The variation of the m.p. of gray Se was measured at 9-40 kilobars by a "Belt" type app. together with differential thermal analysis. Results agreed closely with previous detns. at ~10 kilobars, but no evidence was obtained for the previously reported phase transformation at 42 kilobars. The results did not agree with the prediction of Simon's equation (*CA* 48, 2542b). D. V. S. Williamson

~~Kilobars  
Transformation~~

C.A. 1965-62-7  
7142 h-7143a

Se

1964

Усенова З. Н. и др.

М. кедр. холм. 9, №, 1547-51

Распределение Se, Te и S. в почвах

I (Te крас.)

Se

BP-XII-814

1965

Dependence of the selenium melting point on pressure. K. A. Alekseev. *Fiz. Tverd. Tela* 7(6), 1787-9(1965)(Russ). Dependence of Se m.p. on pressure (up to 14,000 kg./cm.<sup>2</sup>) was detd. exptl. The m.p. was detd. by using variation of elec. resistance, thermal emf., and the thermal effect. A. Libackyj

C.A. 1965 63:5  
49728

XII-844-BP

1965

Se

12 E293. Зависимость температуры плавления селена от давления. Алексеев К. А. «Физ. твердого тела», 1965, 7, № 6, 1787—1789

Time.

Экспериментально определена зависимость т-ры плавления Se от давл. (до 14 000 кг/см<sup>2</sup>). Точка плавления определялась по изменению электросопротивления, термо-э. д. с. и тепловому эффекту. Рассматриваются ошибки измерения т-ры термопарой при внутреннем нагреве.

ф. 1965. 128

Se

Berkowitz g.

1965

Chupka W.A.

900 - 1600°C

FTT, N8, cup. 37

P

Se

1965

Инф. № 109.

Se<sub>2</sub>  
(P)

7 Д210. Парциальное давление Se<sub>2</sub> и оптическая плотность паров Se в видимой и УФ-области. B r e b - r i c k R. F. Partial pressure of Se<sub>2</sub> and optical density of selenium vapor in the visible and ultraviolet. «J. Chem. Phys.», 1965, 43, № 9, 3031—3036 (англ.)

В области 1900 Å — 2 μ при т-рах 860, 700, 500, 400 и 330° С и давл.  $7 \cdot 10^{-5}$  атм измерена оптич. плотность паров Se.

① +1

1966. 70.



1965

Se Partial pressure of  $\text{Se}_2$  and optical density of selenium vapor in the visible and ultraviolet. R. F. Brebrick (Massachusetts Inst. of Technol., Lexington). *J. Chem. Phys.* 43(9), 3031-6 (1965)(Eng). The optical d. of Se vapor  $D_\lambda$  was measured between 1900 Å. and  $2.0 \mu$  at  $T_0 = 860^\circ, 700^\circ, 500^\circ, 400^\circ$ , and  $330^\circ$  and for total pressures (detd. by the temp. of a liquid Se appendage) between  $7 \times 10^{-5}$  and 1.0 atm. Previously observed vibronic bands of  $\text{Se}_2$  are seen and have a max. value of  $D_\lambda$  near 3405 Å. Between 1900 and 2700 Å.,  $D_\lambda$  is not linearly dependent upon the partial pressure of  $\text{Se}_2$ ,  $p_2$ . The ds. in this range bear a const. ratio to one another for fixed  $T_0$  over as many as 2 orders of magnitude in  $D_{2100}$  and appear to be due to a single species,  $\text{Se}_n$ ,  $n > 2$ . Assuming  $D_{3405}$  is the sum of partial ds. due to  $\text{Se}_2$  and  $\text{Se}_n$ , each of which obeys Beer's law, and that  $D_{2100}$  is proportional to  $p_n$ , then  $p_2 = r(D_{3405} - kD_{2100})/L$ , where  $L$  is the optical path length. The value of  $k$ , which is the ratio  $D_{3405}/D_{2100}$  for pure  $\text{Se}_n$ , is chosen to be 0.18 so that  $\log D_{2100}$  varies linearly with  $\log (D_{3405} - 0.18 D_{2100})$ . The Beers-law

C.A. 1965. 63.13  
17178 det

const.  $r$  is obtained from measurements at sufficiently low total pressures that the vapor is all  $\text{Se}_2$  in the optical cell and from published total-vapor pressure measurements. The values of  $p_2$  obtained agree to within 8% or better with those calcd. from the  $\text{Se}_2\text{-Se}_4\text{-Se}_6\text{-Se}_8$  equil. consts. of Illarinov and Lapina (*CA* 52, 3439f) and are significantly lower than those calcd. from the standard tabulation of Stull and Sinke (*CA* 51, 7126d). For  $\lambda \geq 5000$  Å.,  $D_\lambda$  varies as the sq. of  $p_2$  and appears to be due to pressure broadening of the  $\text{Se}_2$  transition. The no. of atoms in  $\text{Se}_n$  is 4 at  $T_0 = 860^\circ$  and 5 at lower temps. The latter no. is interpreted as an av. arising from the near equality of the partial pressures of  $\text{Se}_4$  and  $\text{Se}_6$  over the range of our measurements of  $D_{2100}$ .

RCJO

Se ( $T_{cr}$ ) XII 540 1965

Chang R.,  
appl. phys. Letters, 1965, 6,  
N12, 231-32

8af -

CAB 5

5

S, Se, Te ( $T_m$ )

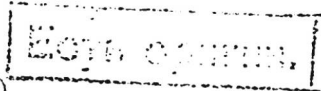
12 XII 565

1965

Deaton B.C., Blum F.J.

Phys. Rev., 1965, 137, N4A, 1131-1138 (amm.)

Properties of group VI B elements under pressure. I. Melting curves of S, Se, and Te.



PHYSICS, 1965,

225489

Page 5 (P)

Se

Dorabialská A.

1965

Świątowski W.

$\Delta H_{tr}$

22 °C

PTT, nr 8, cuip. 24.

$\text{SeO}_2$   $\text{SeO}_3$  ( $P, \Delta H_s, \Delta H_v, \Delta H_m$ ) XII 826 1965<sup>12</sup>

S, Se, Te окислы и гидраты (Обзор термодинамики сб. 3)

Тагиров С.И., Добротин Р.Б., Суворов Я.В.

Уг. Зап. Азерб. уч.-т, Сер. хим. №, 1965, №, 21-89

Термодинамические свойства окислов и гидратов  
серы, селена и теллура.

РНГУж, 1966

Есть оригинал

14.5556

Байсан

Se (Tr)

XII 627

1965

Hamada K., Sasaki H.,

Negita H. J. Sci. Hiroshima

Univ. Ser. A. 11, 29(1), 33-39,  
1965

Temperature dependence of  
allootropic transition of  
selenium.

[ECTB G. H.]

5 (2)

Coff. cat

Se

111-697

Temperature dependence of allotropic transition of selenium. Keinosuke Hamada, Hiroko Sasaki, and Hisao Negita (Univ. Hiroshima, Japan). *J. Sci. Hiroshima Univ., Ser. A-II* 29 (1), 33-9(1965)(Eng). Freshly prep'd. red Se was shown by x-ray diffraction to be amorphous while the aged black form is cryst. Red Se crystallizes faster at higher temps., e.g., within several hrs. at 80° or within several min. at 100°. Crystn. proceeds slowly even at 0°. The temp. dependence of the transition was studied by kinetic analysis of the redn. of H<sub>2</sub>SeO<sub>3</sub> in H<sub>2</sub>SO<sub>4</sub> by SO<sub>2</sub>. The redn. is reversible in H<sub>2</sub>SO<sub>4</sub> because of solv. of red Se (CA 55, 25435h); the transition to black Se lowers the solv., destroys the reversibility, and generates a break in the plot of percentage redn. vs. time. From this measure of the onset of crystn. was derived the expression  $t_b$  (min.) =  $95k^{-0.1}$ , where  $t_b$  denotes elapsed time before breakdown, and the  $k$  values at 70, 60, 50, and 40° are 0.9257, 0.3376, 0.1132, and 0.0369 l./mole-sec., resp.

Virgil B. Kurfman

C. A. 1965.63.13  
17609e -

1965

Se

18 Б497. Кривая плавления селена до  $45\ 000\ \text{кГ/см}^2$ .  
Тонков Е. Ю., Пауков И. Е. «Докл. АН СССР»,  
 1965, 160, № 3, 619—620

Из реферата авторов

Исследована зависимость т-ры плавления Se от давления в интервале от 13 000 до 45 000 кГ/см<sup>2</sup>. Используемый в работе шестипуансонный аппарат (цанговый куб. мультиплликатор) градуировался по фазовым переходам ВI и ТI. Средой, передающей давление, являлся пирофильтит; Se (99,998%) в тefлоновой ампуле нагревался током, проходящим через стальную трубку. Полученная кривая плавления Se описывается ур-ием Симона с постоянными  $a=12\ 000\pm1000\ \text{кГ/см}^2$ ,  $c=2,2\pm0,1$ .

Из реферата авторов

Х. 1965. 18

Se

89 A-6'41

1965

Trombe F., et al.

Rev. Hautes Temp. Refract.,  
1965, 3, I-24.

(P)

Sc (Tm) : XII 823 1965

Птицы СССР, выпуск 2. М.

Узб. Ак. Академия наук Узб. ССР. Вып. Геог. Годн.  
и гидрол. Наглк, 1965 (1), 66-70

Внешнее зонирование на 119  
Физико-географических зон

5

(P)

Барс  
Ca. 65  
Лен.

Se (ед. статьи)

1965

СЕЛЕН, теллур и их применение.: Сборник статей. Баку., 1965г.  
УДК 537.3II.33:546.2(ц)



Б-ка 1135ДИ

Se

1966

Д 5 Б476. О новых свойствах селена высокой чистоты.  
Абдуллаев Г., Б. Мехтиева С. И., Абдинов Д. Ш., Алиев Г. М. «АзәрБССР Елмләр Акад. хәбәрләри. Физ.-техн. вәријазијјат елмләри сер., Изв. АН АзербССР. Сер. физ.-техн. и. матем. н.», 1966, № 1, 77—84

Сообщается о св-вах Se, обусловленных содержанием O и кислородкомпенсирующих примесей. Исследование проводили на Se марки В4 и В5 до и после обескислороживания, а также после окислороживания. В кач-ве кислородкомпенсирующих примесей взяты Cd, Sb, Mn, Tl, Na, S. Найденные зависимости электропроводности  $\sigma$  и теплопроводности  $\lambda$  от содержания примеси, а также т-рные зависимости  $\sigma$  и термо-э. д. с.  $\alpha$  в интервале 300—700° показали, что O в Se создает акцепторные уровни, а примеси Sb, Cd, Mn, Na, Tl, S взаимодействуют с O, образуя электронейтр. комплексы типа Sb<sub>2</sub>O<sub>3</sub>, CdO, MnO и др., что равносильно обескислоро-



Х: 1967.5

живанию и приводит к уменьшению конц-ии дырок, а следовательно  $\sigma$  и в конечном счете к изменению типа проводимости Se. При полной компенсации О  $\lambda$ ,  $\sigma$ , а также плотность  $\rho$  и микротвердость  $H$  достигают минимума, после к-рого примеси в основном распределяются в дефектах, созданных указанными комплексами, образуя свободные локальные уровни. Вследствие этого эффективное сечение дефектов уменьшается, а конц-ия носителей тока увеличивается, что приводит к росту  $\lambda$ ,  $\rho$ ,  $H$  и  $\sigma$ . Обескислороживанием Se устраняется вероятность образования комплексов введенных примесей с О, поэтому минимумы на концентрац. зависимости  $\lambda$ ,  $\rho$  и  $H$  исчезают. Вычислена конц-ия ионизированных атомов О в Se, к-рая оказалась равной  $\sim 10^{17} \text{ см}^{-3}$ , что хорошо совпадает с конц-ией дырок в Se при т-ре от  $20^\circ$  до т. пл. Отсюда заключают, что Se в тв. состоянии — примесный полупроводник. При удалении О или компенсации его действия примесями Se приближается к собственному полупроводнику. Показано, что  $p$ -проводимость, прохождение через минимум,  $\sigma$ ,  $\lambda$ ,  $\rho$  и  $H$  при введении примесей, аномально большое сечение рассеяния, сильное уменьшение  $\sigma$  и  $\alpha$  при плав-к

Se (TII.1)

12.

1966.

XII 816

Биоресурс К.А.

Министерство Техн. и конструкторской промышленности, 1966, №1,  
214-215-

Министерство народного хозяйства  
науки и культуры при Совете Министров  
СССР.

214-215-8A146 5

об

*Se*

XII-544-BP

1966

14565n Thermodynamic properties of amorphous and hexagonal selenium. P. Chaudhari, P. Beardmore, and M. B. Bever (Massachusetts Inst. of Technol., Cambridge). *Phys. Chem. Glasses* 7(5), 157-8(1966)(Eng). The heat capacity of amorphous Se was measured in a const. temp. gradient calorimeter from 25 to 85°; the energy difference between amorphous and hexagonal Se at 0° was measured by the metal soln. method calorimetry. The difference between amorphous and hexagonal Se is 1035 cal./g.-atom. The glass transition temp. is 31°. 12 references.

S. Goldwasser

C.A. 1967-66-4

Se

YII-544-BP

1966

22 Б530. О термодинамических свойствах аморфного и гексагонального селена. Chaudhari P., Beard-

тоге P., Beverg M. B. On the thermodynamic properties of amorphous and hexagonal selenium. «Phys. and Chem. Glasses», 1966, 7, № 5, 157—158 (англ.; рез. нем., франц.)

Теплоемкость  $C_p$  аморфного селена (I), полученного путем быстрого охлаждения жидкого селена чистотой 99,999%, измерена в интервале от 25 до 85°. Результаты для трех образцов I, различающихся термич. предысторией, представлены на графике. Для всех трех образцов  $C_p$  быстро возрастает при 28° и проходит через максимум при 46°; обнаруженная аномалия связана со стеклование. Различие в кривых  $C_p-T$  этих образцов пока-

(Cp)

x. 1967.22

зывает, что I претерпевает релаксацию при 25°. Разница в энергии I и гексагонального Se при 0° вычислена из результатов измерения теплот растворения обоих образцов в висмуте и оказалась равной  $1035 \pm 10$  кал/г·атом (вероятная ошибка, полученная в серии из 7 опытов). Полученные результаты сопоставлены с данными других авторов.

В. Колесов

Se

Dorakialská A.,  
Świątkowski W.

1966

$\Delta H_f$

20°C

PTT, N9, cip. 23.

$\Delta H_f$  [Amorph + (0.02 - 4 at. % S) → c], 20°C;

$\Delta H_f$  [Amorph + (0,8 at. % S +  
+ 0.145 milli curies  $^{35}\text{S}$ ) → c], 20°C

$\text{SeO}_2$   
Se  
 $\Delta H^\circ_f$

1966

Thermochemistry of Se. IV. Formation enthalpy of  $\text{SeO}_2$  and conversion heats of selenium modifications. G. Gattow and M. Draeger (Univ., Goettingen, Ger.). *Z. Anorg. Allgem. Chem.* 343(1-2), 55-7(1966)(Ger); cf. CA 62, 7177f. The standard enthalpies were recalcd. for the formation of  $\text{SeO}_2$  from hexagonal Se ( $\Delta H^\circ_f = -53.54$  kcal./mole), from glassy Se (-54.78), from ( $\alpha + \beta$ ) monoclinic Se (-54.52), from red amorphous Se (-56.51), and from black amorphous Se (-56.6) at 25°.

The conversion heats  $\Delta U^\circ$  for the various Se modifications were also recalcd. from previously detd. combustion heats (CA 57, 14501f):  $\Delta U^\circ$  (kcal./mole) for the above Se modifications = -52.95, -54.19, -53.93, -55.92, and, resp. Conversion enthalpies for the Se modifications are tabulated (simple subtraction of the  $\Delta H^\circ_f$  values given above; e.g. glassy Se  $\rightarrow$  hexagonal Se,  $\Delta H^\circ_f = (-53.5) - (-54.7) = 1.2$  kcal/mole).

1

GRJG

C.A. 1966.64.10  
13465h-13466a

1966  
B92-XVII-610

1966

Se

23 Б567. Плавление и затвердевание селена и теллура при высоких давлениях. Clement W., Jr., Copen L. H., Kennedy G. C. Melting and freezing of selenium and tellurium at high pressures. «J. Phys. and Chem. Solids», 1966, 27, № 1, 171—177 (англ.)

Tm

Методом ДТА в аппаратуре типа «плунжер-цилиндр» (передающая давление среда — пирофиллит) изучена зависимость т. пл. Se и Te от давл. (до 40 кбар). Т. пл. Se повышается с давл. от 217° при 1 атм до 636° при 40 кбар; величина  $dT/dp$  падает от 22°/кбар при 1 атм до ~5°/кбар при 40 кбар. При охлаждении Se кристаллизуется только при т-рах  $>400^\circ$ , что авторы связывают с уменьшением вязкости жидкости по мере повышения т-ры и давл. Данные для Te имеют значительный разброс; проводится их сопоставление с литературными данными.

Э. Эстрин

(+) +1

X·1966·23



Yerwasmā O.

1966

Se

5 TT, N 9, cusp. 19.

Cp,

0.3 - 25°K

Se

XII-849-891

1966

16 E133. Теплоемкость аморфного селена при низких температурах. Мамедов К. К., Керимов И. Г., Мехтиев М. И., Велиев М. И. В сб. «Хим. связь в полупроводн. и термодинамика». Минск, «Наука и техника», 1966, 174—178

Теплоемкость аморфного Se (99,99999%) измерена в интервале т-р 56—332°К. Поведение теплоемкости в области т-р до 300°К свидетельствует в пользу цепочечной структуры Se. Вблизи 303°К найдена аномалия теплоемкости, объясняемая образованием дырок.

Cp

56-332°K

(Сб. есть у Бермана.)

09. 1967. 63

Se

Cp

XII-849-B9

1966

119523a Specific heat of amorphous selenium at low temperature. K. K. Mamedov, I. G. Kerimov, M. I. Mekhtiev, and M. I. Veliev. *Khim. Svyaz Poluprov., Inst. Fiz. Tverd. Tela Poluprov. Akad. Nauk Beloruss. SSR* 1966, 174-8(Russ). The sp. heat,  $C_p$ , of amorphous Se (99.9999%) was measured from 56 to 332°K. There are no anomalies at 56-300°K.; above 303°K.  $C_p$  increases sharply. The behavior of  $C_p$  in the glass temp.-region is explained by the Hirai's and Eyring's theory (CA 53, 5800e).  $\Delta C_p$  is 14.53 j./g. atom-degrees;  $\Delta C_p$  depends on the cooling rate during the prepn. of the sample from the melt. The glass temp. is equal to 303.4°K., the change of entropy (0-298.16°K.) is  $48.40 \pm 0.9$  j./g. atom-degree, and the change of enthalpy (54-298.16°K.) is  $5340 \pm 10$  j./g. atom.

Frantisek Smutny

C.A. 1964-66-26.

Se  
аморф.

Б9-XII-850 1966

18 Б576. Термодинамические исследования при низких температурах. Мамедов К. К., Керимов И. Г., Мехтиев М. И., Велиев М. И. «Ж. физ. химии», 1966, 40, № 12, 3086—3089

В адиабатическом калориметре измерена теплоемкость аморфного селена в интервале 56,62—332,04° К. В области 56—150° К теплоемкость описывается ур-нием Тарасова В. В. для невзаимодействующих цепей со значением  $\theta_1 = 364$ ° К. Наблюдаемая аномалия теплоемкости в интервале 303—332° К, характерная для стекловидных веществ, объясняется дырочной теорией жидкостей. Максимум аномалии теплоемкости,  $\Delta C_p = 15,53 \text{ дж/г атом град}$ , соответствует т-ре  $\sim 321$ ° К. С уменьшением скорости охлаждения образца наблюдается уменьшение  $\Delta C_p$ . Вычислены  $S_{298} = 48,40 \pm 0,80$  ентр. ед.,  $H_{298,16} - H_{54} = 5340 \pm 10 \text{ дж/г атом}$ .

Автореферат

2. 1987. 18

Se

Б9-ХД-850

1966

4 E140. Термодинамические исследования при низких температурах. Мамедов К. К., Керимов И. Г., Мехтиев М. И., Велиев М. И. «Ж. физ. химии», 1966, 40, № 12, 3086—3089

Измерена теплоемкость аморфного Se в интервале т-р 56—332° К. Установлен аномальный переход теплоемкости около т-ры стеклования, и для Se определено, что  $T_g = 303,4^\circ\text{K}$ . В области 56—150° К полученные результаты удовлетворяют ур-нию Тарасова для невзаимодействующих цепей. Обнаружено, что аномальная часть теплоемкости, которая может быть объяснена на базе дырочной теории жидкости, зависит от скорости охлаждения образца.

Ф. 1967. 48

*Se*

*Cp*

*(H)*

*B.P.*

89078q Thermodynamic studies at low temperatures. K. K. Mamedov, I. G. Kerimov, M. I. Mekhtiev, and M. I. Veliev. *Zh. Fiz. Khim.* 40(12), 3086-9(1966)(Russ). The sp. heat of amorphous Se was measured at 147 points in the 56-332°K. interval with an error <1%. The values obtained in the 56-150°K. interval may be expressed by the Tarasov equation (CA 44, 4742f) with  $\theta = 364^{\circ}\text{K}$ . In this interval the sp. heat of amorphous Se is due entirely to the oscillations of the atoms in the chains, and the value of  $\theta_1$  characterizes the max. frequency of the oscillations of the atoms in the chains. Consequently, amorphous Se possesses a chain structure, and no interaction between the chains occur in this interval. The sharp increase in the sp. heat above 303°K. is characteristic of the vitrification region; the anomalous increase in the sp. heat in the region of the vitrification temp. ( $T_v$ ) is explained by the hole theory of liquids. The hole fraction of the sp. heat ( $\Delta e_p$ ) = 14.53 j./g.-atom-degree. The values of  $\Delta e_p$  decrease with a decrease in the rate of cooling. The following quantities were detd.:  $S_{0-293.16} = 48.40 \pm 0.80$  j./g.-atom-degree, and  $H_{293.16} - H_{54} = 5340 \pm 10$  j./g.-atom.  $T_v$  for Se = 303.4°K. Jean Plamondon

1966

C.A. 1967. 66. 20

- Se

B9P-5504-V

1966

Mukherjee K

"Phys. Rev. Lett"

1966,

Граби. Классификация и раздел.  
по физ. габ.



Зак. 247

XII - 1817 1966

Se

) 15 Б600. Определение давления паров летучих веществ. Пелевин О. В., Мильвицкий М. Г., Беляев А. И., Хотин Б. А., Шулепников М. Н., Воронков В. В. «Заводск. лаборатория», 1966, 32, № 8, 968—970

Описан метод измерения давления  $P$  насыщ. пара путем определения интенсивности  $\gamma$ -излучения соответствующего радиоактивного изотопа в паре, в определенном диапазоне т-р. Описано устройство измерительной ячейки. Ампула с образцом исследуемого в-ва помещена вертикально в трехсекционную печь. Нижняя секция служит для разогрева и испарения образца, верхняя — для поддержания заданной т-ры и средняя — для обеспечения плавного перехода между первыми двумя. Си-

P,  
 $\Delta H_v$

B-97-XII-858

X 1967 . 15

стема заключена в свинцовый контейнер, в котором находится также датчик счетчика. При постепенном повышении или понижении т-ры получается кривая «т-ра — число имп/мин.» Точка излома на этой кривой соответствует полному испарению в-ва в объем ампулы и давление пасыщ. пара может быть рассчитано из плавки в-ва и объема ампулы по ур-нию Клапейрона, в предположении определенного молек. состава пара. Применимость метода проиллюстрирована на примере определения  $P$  для  $\text{Se}^{75}$  в диапазоне т-р 380—580°. Результаты согласуются с литературными данными. Вычислена теплота испарения Se, равная 25,6 ккал/моль.

С. Огородников

Se | C.P.

12 № 859

1966

Pebanev O.B., Muzashvili N.I.,  
Gerasimov A.U., Youmik B.A., Myzra-  
yashvili M.K., Balashov B.B.,  
Zabagotsk. Vlad., 1966, 32(8), 968-70.

5 ⑨

○

XII 880

1966

Li, Na, K, Rb; Ni; Al, Te, In,  
Sn, Se (KII)

Vaidya S.N., Raja G.E.S.,  
Phys. Rev. Letters,

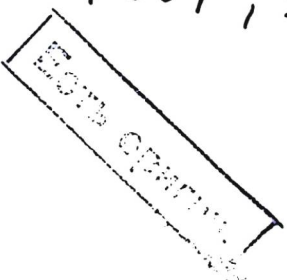
1966, 17, 635-636

T

Biz Be ( $\Delta$ Hf), Be ( $\Delta$ Haq), 1967

Chaudhari P., Bever <sup>XII</sup>302.  
U.B.

Trans Metallurgy. Soc. AIMg,  
1967, 239, NY, 501-504



MB 813 eu13



PXFO

Se

№8 Б447. Кристаллическая структура тригонального селена. Cherin Paul, Unger Phyllis. The crystal structure of trigonal selenium. «Inorgan. Chem.», 1967, 6, № 8, 1589—1591 (англ.)

Проведено повторное рентгенографич. исследование (метод монокристального дифрактометра,  $\lambda$ Mo- и  $\text{Cu}-K\alpha$ ) структуры тригон. модификации селена. Изучение проводилось на монокристаллах, выращенных путем медленного охлаждения насыщенного р-ра аморфного селена в анилине. Параметры гексагон. решетки  $a = 4,3662$ ,  $c = 4,9536$  Å, ф. гр.  $P3_121$  (или  $P3_221$ ). Единственный параметр структуры ( $x = 0,2254$ ) уточнен по зоне  $hk0$  методом наименьших квадратов;  $R = 0,032$ . Длина связи Se—Se  $2,373 \pm 0,005$  Å; валентный угол  $103,1 \pm 0,2^\circ$  (старые значения, полученные Брэдли: 2,33 Å;  $104,8^\circ$ ). Кратчайшее расстояние Se—Se в смежных цепочках 3,436 Å, что значительно короче значения 4,0 Å, вычисленного на основании только ван-дер-ваальсового взаимодействия.

Р. С. Иванова

Х:1968:8

1967

B91-XII 570

Se

23 Б572. Изучение термодинамики фазовых превращений селена. Dobovišek Bogomir, Mečkovski Antonovič, Rosina Andrej. Príspevek k štúdiu termodynamike pri fazných preťvorbah selena. «Rud.-metal. zb.», 1967, № 3—4, 235—238 (словенск.)

$\Delta H_{tr}$

Методом ДТА была изучена термодинамика фазовых превращений Se при нагревании и охлаждении. Темплота перехода из аморфного в стекловидное состояние Se (при 36—39°) определена равной  $60 \pm 15$  кал/г-атом, темплота кристаллизации стекловидного Se, начинающейся при 104° равна 950—1050 кал/г-атом, независимо от скорости охлаждения Se в пределах 90—60 град/мин.

С. Глебов

X · 1968 · 23

B9 - XII - 570

1967

Se

110842 Thermodynamics of phase transitions of selenium.  
Dobovisek, Bogomir; Mechkovskii, L. A.; Rosina, Andrej  
(Oddelek Montanistiko, Ljubljana, Yugoslavia). *Rud.-Met.*  
*Zb.* 1967, (3-4), 235-8 (Slovenian). Phase changes of heated Se  
and the heat of crystn. were investigated by D.T.A. The heat  
needed for the transition from the amorphous to the glassy phase  
was estd. to be  $60 \pm 15$  cal./g.-atom, and the heat of crystn. of  
glassy Se, 960-1050 cal./g.-atom. Crystn. began at  $104^\circ$ , and  
the heat of crystn. was not dependent on the rate of cooling of  
the melted Se. In spite of different cooling rates ( $90^\circ$  and  
 $60^\circ$ ), the thermogram areas did not differ and give equal heats of  
crystn.

G. Muacevic

$\Delta H_{tr}$

$T_{tr}$

C.A. 1968-

69-26

Se

13 Б806. О явлении стеклования селена. Dzhalilov S. U., Rzaev K. I. On the phenomenon of selenium vitrification. «Phys. status solidi», 1967, 20, № 1, 261—266 (англ.; рез. нем.)

Температурная область стеклования селена (18—36°) определена из волюметрич. измерений, результаты согласуются с данными, полученными из температурной зависимости вязкости, теплоемкости и скорости распространения УЗ-волны в селене. При изменении скорости охлаждения от 0,5 до 0,005 град/мин т-ра стеклования  $T_g$  снижается на 9°.  $T_g$  линейно уменьшается с ростом конц-ии Te в Se и линейно растет с ростом конц-ии Sb в Se. Да-на интерпретация обеих зависимостей.

Резюме

X. 1968. 13

1967

Se (gas)

T/g el. b/e  
DH, S

94533j Thermodynamics of selenium vapor. Hans Rau  
(Phillips Zentrallab. G.m.b.H., Aachen, Ger.). *Ber. Bunsenges. Phys. Chem.* 71(7), 711-15(1967)(Ger). The av. mol. wt. of Se vapor was detd. between 712°K. and 1147°K. and at pressures up to 1500 torr. Equations were derived which enable the partial pressure of  $\text{Se}_2$  to be calcd. as a function of pressure and temp. The satn. pressure curve of liquid Se has also been measured between the m.p. and the b.p. approx. From the  $\text{Se}_2$  partial pressure curve of satd. Se vapor, the following thermodynamic data were calcd.:  $\Delta H_{298}(\text{Se}_2) = +34.96 \pm 1.0$  (kcal./mole) and  $S_{298}(\text{Se}) = 10.15 \pm 0.5$  (cal./°K. mole).

RCCZ

C.A. 1967. 07. 20

Se

ВГ2-XII-848

1987

17 Б781. Термографическое исследование влияния чистоты аморфного селена на теплоту превращения. Медов К. П., Сулейманов З. И. «АзэрБССР Елмләр Акад. хэбэрләри. Физ.-техн.-вэ-ријазијј ат елмләри сер., Изв. АН АзерБССР. Сер. физ.-техн. и матем. и.», 1967, № 6, 7—10 (рез. азерб.)

Методом ДТА определена теплота кристаллизации аморфного Se двух образцов: селена В-5 (99,99999%) и технического селена (99,992). Показано, что теплота кристаллизации меняется от 15,6 кал/г для В-5 до 15,0 кал/г для технического селена.

Е. Ю. Тонков

ΔH<sub>tz</sub>

X · 1968 · 17

Se

Москва 11. 7.  
Борисова З. Г.

1967

Уф. Ак СССР, Некроп. маг-и,  
3, №, 923.

Исследование присущих га-  
гии стеклообразных  $SSe_{20}$  и

Se



(ак.  $SSe_{20}$ ) I

Se

ommwer A-945

1967

Olette et al.; et al.

(P, SH<sub>v</sub>)

Vide, 1967, 22 130,

213-215

♂, ♂, 3♂, 3♀ (T<sub>de</sub>, T<sub>m</sub>)

12 № 2554

1967

May 1006 U.S., Tarkov E.O., Kuybyshev R.C.

Дл. 803. ширина, 1967. №. N8. 1857-1860

Листья с густоволосыми ворсинками, кончики  
листьев с ложными бородавками

Москва, 1963

115 28.3

Б (φ)

1967

Se

20 Б826. Термодинамика паров селена. Rau Hans.  
 Thermodynamik des Selendampfes. «Beg. Bunsenges. phys. Chem.», 1967, 71, № 7, 711—715 (нем.; рез. англ.)

Определен средний мол. вес паров селена (в интервале т-р 712—1147° К и давл. до 1500 мм). С помощью этих результатов и литературных данных рассчитано парц. давление пара  $Se_2$ :  $\lg P(Se_2) = 7712/T - 3,927 \lg T + 22,220$  (мм). Для давления насыщ. пара селена в интервале между т-рой плавления и т-рой кипения рассчитано ур-ние:  $\lg P_{Se} = -4955/T + 8,056$  (мм). Из данных по парц. давлению  $Se_2$  насыщ. пара селена рассчитаны теплота испарения  $Se_2$  и стандартная энтропия испарения  $Se$ , к-рые равны, соответственно:  
 $\Delta H(298, Se_2) = +34,96 \pm 1,0$  ккал/моль и  $S(298, Se) = 10,15 \pm 0,5$  энтр. ед.

В. Карелин

Х · 1968 · 20

Se(K)(Tm)

1968

145 - ~~H~~ - ТКВ

Тонков Е.Ю.

Селен. С.- 9.

XII-7-Б9

1968

Se

p

ΔHv

x. 1968-24

24 Б488. Давление пара и сопротивление селена при высоких температурах. Baker E. H. The vapour pressure and resistivity of selenium at high temperatures. «J. Chem. Soc.», 1968, A, № 5, 1089—1092 (англ.)

Методом точек кипения изучено давление пара жидкого селена в интервале т-р 432,5—1380° и давлений 0,013—161,5 атм. Результаты описываются ур-нием:  $\lg P(\text{атм}) = -5043/T + 5,265$ . В области низких давлений, где поведение пара близко к идеальному, для температуры испарения найдено значение 23,1 ккал/моль. Сопротивление было измерено в области т-р 390—1420°. Показано, что ниже 550° зависимость  $\lg P - 1/T$  имеет линейный характер и подтверждает полупроводниковые

св-ва селена. С ростом т-ры от 550 до 1150° сопротивление уменьшается значительно быстрее, однако при более высокой т-ре этот процесс снова замедляется. Качественно т-риая зависимость изменения сопротивления может быть объяснена тем, что селен перестает быть полупроводником и становится металлич. проводником по мере того, как термически разрушаются атомные цепочки в расплаве.

В. Карелин

XII-7-B9

1968

Sc  
J.P.

117313z The vapor pressure and resistivity of selenium at high temperatures. E. H. Baker (Imp. Coll. Sci. and Technol., London, Engl.). *J. Chem. Soc., A* 1968(5), 1089-92(Eng). The vapor pressure and resistivity of liquid Se have been measured as a function of temp. by means of an internally heated pressure-vessel with Ar as the pressure-medium. A vapor pressure-temp. relation has been derived for pressures and corresponding temps. in the ranges 0.013-161.5 atm. and 432.5-1380°. At the lowest pressures, where the vapor should behave ideally, the heat of vaporization derived is 23.1 kcal. mole<sup>-1</sup>. The resistivity,  $\rho$ , has been measured at 390-1420°. Below 550°, the plot of log  $\rho$  against 1/T is linear and confirms semiconductive behavior. At 550-1150° the resistivity drops more markedly with temp., but at the highest temps. the change is diminished. The explanation offered qual. is that the Se changes from a semiconductor to a metallic conductor as the chains in the liq. are thermally destroyed.  
19 references.

RCGF

C.A. 1968 · 68 · 26

1968

XII-18

Se

69872c Comment on the composition of selenium vapor.  
Berkowitz, J.; Chupka, W. A. (Argonne Nat. Lab., Argonne,  
Ill.). *J. Chem. Phys.* 1968, 48(12), 5743-4 (Eng). Previous  
data by the authors (1966) on the mean no. of Se atoms per mol.,  
at temps. in the range 469-1173°K., are revised. BGJN

P,  
Cocaine  
Napal

C.A. 1968

69-18

Ce; Li, Ge; P, Sb; Se, Te <sup>X-885</sup>  
1968  
( $T_{tr}$ )

Братчук Н.Б., Тихомиров Н.И.

Ученки | арх. наук,

1968, 98, 95-124

T

Se(пар)

1968

9 Б720. Парциальное давление  $Se_2$  (газ.) в парах селена. Дискуссия по статье: Berkowitz J, Chupka W. A. «Равновесный состав паров селена. Термодинамика испарения HgSe, CdSe и SrSe. В г е б р и к *R. F.* Partial pressure of  $Se_2$  (g) in selenium vapor. Discussion on the paper: «Equilibrium composition of selenium vapor» by J. Berkowitz and W. A. Chupka.—Authors' reply. «J. Chem. Phys.», 1968, 48, № 12, 5741—5744 (англ.)

См. РЖХим, 1967, 17Б617

(см.  $Se_2$ ) I

x. 1969. 9

Se<sub>0</sub> (D<sub>0</sub>, K<sub>P</sub>)

Se (K<sub>P</sub>)

Buddeinkes P., Edwards E.K., Wohlfher P.G.

J. Chem. Phys., 1968, 48, N<sup>o</sup> 2867 - 2869 (aust.)

Dissociation energies of group VI<sub>0</sub> gaseous  
homonuclear diatomic molecules. II. Selenium.

PKK Karlsruhe, 1969

35700

→ O b, M, 10 (ch)

1968

Se

Chang S.S.  
Bestell A.B.

Cp (c)

BTT, 1968, v11, 32 cip.

5-360 °K

Cp (vit)

5-305 °K



Cp (l) - 310-330 °K

*Se*

*BP-XII-77*

*1968*

16 Б606. Термохимия селена. V. Термохимические  
данные для стеклообразного селена. Gattow G.,  
Buss B. Thermochemie des Selens. V. Thermochemisches  
Verhalten des glasigen Selens. «Z. anorgan und allgem.  
Chem.», 1968, 363, № 3—4, 134—139 (нем.; рез. англ.)

Калориметрически, с помощью метода спекания, по-  
вторно измерены теплосодержания стеклообразного се-  
лена в области т-р от —195 до +60°. Определены зна-  
чения теплоемкостей и даны ур-ния  $C_p-f(T)$ . На кри-  
вой  $\Delta H-p(T)$  отмечены точка перегиба при —32° и  
точка превращения стеклообразного селена при +32°.  
Сообщ. IV см. РЖХим, 1967, 12Б598. Резюме

*(Cp!)*

*X. 1969. 16*

BP-XII-44

1968

Sc

414057 Thermochemistry of selenium. V. Thermochemical behavior of vitreous selenium. Gattow, Gerhard; Buss, B. (Univ. Mainz, Mainz, Ger.). *Z. Anorg. Allg. Chem.* 1968, 363(3-4), 134-9 (Ger). The thermodynamic properties of vitreous Se were redetd. calorimetrically between -195 and 60° by the drop-method of K. K. Kelley (1960). Instability of glassy Se was observed at -32° and a glass transformation point occurred at 30.2°.

CJJG

Tic

C. A. 1969. 70. 10

*Se*

испарение

X. 1969. 4

4 Б116. Масс-спектрометрическое изучение испарения с помощью лазера. I. Селен. К по х Bruse E. Mass spectrometric studies of laser-induced vaporization. I. Selenium. «Mater. Res. Bull.», 1968, 3, № 4, 329—336 (англ.)

1968

Лазерный масс-спектрометр применен для исследования испарения гексагональной и  $\alpha$ -моноклинной форм кристаллич. Se и тонких пленок и стеклообразного аморфного Se. Во всех случаях в масс-спектре преобладали ионы  $Se_5^+$ , рассматриваемые авторами как пятичленные кольца. Методом электронного удара изучался состав паров над тв. Se. Энергия ионизирующих электронов (8 эв) была достаточной для регистрации нейтр. молекул, но оставалась ниже потенциалов появления ионов  $Se^+—Se_8^+$  (8,3—10,4 эв). Показано, что основным компонентом нейтр. паров является димер  $Se_2$ .  $Se_2$  рассматривается авторами как первичный фрагмент, образующийся при воздействии на в-во излучения лазера. Экспериментально подтверждена ярковыраженная ани-зотропность гексагон. монокристалла Se. А. В. Герасимова



1968

Se

P

31422t Mass spectrometric studies of laser-induced vaporization. I. Selenium. Knox, Bruce E. (Pennsylvania State Univ., University Park, Pa.). *Mater. Res. Bull.* 1968, 3(4), 329-36 (Eng). The laser-mass spectrometer was used to study the vaporization of the hexagonal and  $\alpha$ -monoclinic forms of cryst. Se as well as glassy and vapor-grown thin films of amorphous Se. The pentamer mol. ion,  $\text{Se}_5^+$ , dominates the ionic species in the vapor emanating from all forms of Se; and  $\text{Se}_5$  is the second most important species in the vapor. The dimer,  $\text{Se}_2$ , is the primary neutral species in the vapor, and is assumed to form as a fragmentation product. The pentamer mol. species is postulated to be a ring structure. Michael F. Ehman

C.A. 1968.

69.8

Se

Lounasmaa O.V.

1968

БТТ, 1968, №11, ср. 21

Ср  
1,5 - 20%

1968

Se

Westmore J.B., et.al.

P

Advan. Chem. Ser., 1968,  
42, 231.

Modified mass-spectrometer ion source for the study of high-temperature vaporization. Vaporization of zinc, cadmium, arsenic, selenium, cadmium.

arsenide, and cadmium selenide.

(Cu. Zn) I

Se( $n$ ) - p

1968

Se<sub>2</sub>

$x = 2, 5, 6, 7, 8$

Δ Hev

6 Б866. Масс-спектрометрическое и торзионно-эффузионное исследования испарения жидкого селена.  
Yamdagni R., Porter R. F. Mass spectrometric and torsion effusion studies of the evaporation of liquid selenium. «J. Electrochem. Soc.», 1968, 115, № 6, 601—604  
(англ.)

Масс-спектрометрически изучен состав пара Se с использованием эффузионной камеры Кнудсена. Относительные интенсивности ( $J^+$ ) спектральных линий при 600° К для ионов  $Se_n^+$  ( $n=1, 2, 3 \dots 8$ ) составляют 19,5; 100,0; 23,2; 14,4; 37,7; 41,3; 15,4; 2,1, соответственно. Потенциалы появления ионов  $Se_n^+$  совпадают с ранее измеренными. Политермич. исследование показало рост



+1



Х. 1969: 6

относительного содержания иона  $\text{Se}_2^+$  при уменьшении давления в камере. Обнаружено, что ионы  $\text{Se}_n^+$  ( $n=2,5,6,7,8$ ) образуются при ионизации соответствующих молекул, в то время как ионы  $\text{Se}_3^+$  и  $\text{Se}_4^+$  образуются при ионной фрагментации. Отсюда сделан вывод, что  $J^+$  ионов  $\text{Se}_n^+$  ( $n=2,5,6,7,8$ ) пропорциональны парциальным давлениям соответствующих молекул. По табличной зависимости  $J^+$  рассчитаны теплоты испарения, равные 22,8; 23,1; 20,0; 20,2; 21,6 ккал/моль для молекул  $\text{Se}_n$  ( $n=2,5,6,7,8$ ) при  $T=625^\circ\text{K}$ . Методом Кнудсена и эфузионно-торзионным определены давления пара над жидк. Se в интервале 489—533° K и подсчитан средний молекулярный вес пара.

П. М. Чукров

1968

Se, Se<sub>2</sub>, Se<sub>3</sub>  
Se<sub>2</sub>, Se<sub>5</sub>, Se<sub>6</sub>  
z, H, V  
SH, L

5369m Mass-spectrometric and torsion effusion studies of the evaporation of liquid selenium. Yamdagni, R.; Porter, R. F. (Cornell Univ., Ithaca, N.Y.). *J. Electrochem. Soc.* 1968, 115 (6), 601-4(Eng). The compn. of Se vapor evapg. from liquid Se was studied mass-spectrometrically by using single and double-oven type Knudsen effusion cells. The appearance potentials were detd, for various mol. species ( $Se_n$ ,  $n = 1$  to 8). The heats of vaporization of  $Se_2$ ,  $Se_5$ ,  $Se_6$ ,  $Se_7$ , and  $Se_8$  at 625°K. were obtained and the heat of fusion of Se was derived. The av. mol. wt. of the Se vapor was detd. from the simultaneous measurements of vapor pressure by Knudsen and torsion effusion methods.

RCJV

C.A. 1968-69-2

Se

XII-902

1969

5 E500. Зависимость температуры плавления селена  
от давления. Алексеев К. А. «Тр. метрол. ин-тов  
СССР», 1969, вып. 104(164), 107—109

Экспериментально определена зависимость т-ры плав-  
ления Se от давления до 14 400 кгс/см<sup>2</sup>. Точка плавле-  
ния определялась по изменению электросопротивления,  
термо-э. д. с. и тепловому эффекту. Рассматриваются  
ошибки измерения т-ры термопарой при внутреннем  
нагреве.

Автореферат

$T_m$

09.1970. 58

1969

Se

Leo Brewer, Gord Rosenblatt.

Edv. in High Temp. Chem."

1969, 2, 1-83.

AHPO  
258

OCL 2020 1862

1969

Se Chang S.S., Bestul A.B.

BTI, 1969, n12, 36cīp.

$C_p(c) = 5 - 360^{\circ}K$

$(v) = 5 - 305^{\circ}K$

$(l) = 310 - 330^{\circ}K$

Agr Se(kp);  
Se( $\Delta H$ ;  $\Delta S_T$ ;  $\Delta G_T$ )

1969

VI 6865

Журавлев Г.Н.; Радибеков Е.С.

Изб. Русск. Учен. забоq.; Учен. издани  
1959, 12 (3), 101-4.

Избранное из научных работ  
изд. СССР

M @ T

21, 1969, № 1, № 2, 1059294

Se

XII-76

1969

13 Б810. Температура превращения стеклообразного селена. Gattow G., Buss B. Transformationspunkt des glasigen Selens. «Naturwissenschaften», 1969, 56, № 1, 35—36 (нем.)

Температура превращения стеклообразного Se ( $30,2 \pm 0,1^\circ$ ) определена по изменению плотности  $d$  высокочистого Se в зависимости от т-ры (в интервале  $22$ — $40^\circ$ ) при избытке O<sub>2</sub>. Зависимость выражается ур-ниями:  $d = 4,81460 - 1,756 \cdot 10^{-3} T$  для  $> 30,2^\circ$  и  $d = 4,46296 - 5,97 \cdot 10^{-4} T$  для  $< 30,2^\circ$ .

Л. В. Шведов

Привращ.

X·1969

13

XII-76

1969

Se

(71628s) Thermochemistry of selenium. VI. Transformation point of vitreous selenium. Gattow, Gerhard; Buss, B. (Univ. Mainz, Mainz, Ger.). *Naturwissenschaften* 1969, 56(1), 35-6 (Ger). To det. the glass transformation temp. ( $T_g$ ) of vitreous Se, the d. of highly pure vitreous Se was detd. at 22-40° pycnometrically with the exclusion of O. Thus,  $T_g = 30.2 \pm 0.1$  and  $d_4^T = 4.46296 - 5.97 \times 10^{-4}T$  for  $T < 30.2^\circ$  and  $d_4^T = 4.81460 - 1.756 \times 10^{-3}T$  for  $> 30.2^\circ$ . The thermal expansion coeffs. are  $1.397 \times 10^{-4}$  and  $4.115 \times 10^{-4}$  degree $^{-1}$  at  $< 30.2^\circ$  and  $> 30.2^\circ$ , resp.

CJJG

$T_{tr}$

C.A. 1969 · 70. 16

1969

Se

21 Б674. О вязкости жидкого селена. Hamada Shuichi, Yoshida Naosato, Shirai Toshiaki. On the viscosity of liquid selenium. «Bull. Chem. Soc. Japan», 1969, 42, № 4, 1025—1029 (англ.)

При т-рах 235—305° с помощью вискозиметра типа Уббелоде измеряли вязкость чистого и частично хлорированного жидк. Se. «Внутреннюю» вязкость  $\eta_0$  определяли путем экстраполяции опытных данных к нулевой скорости сдвига. Найдено, что т-рная зависимость  $\eta_0$  для чистого и хлорированного жидк. Se описывается законом Аррениуса. При увеличении т-ры от 235 до 305° значения  $\eta_0$  для чистого жидк. Se убывают от 20,2 до 2,3 пуз. Вязкость хлорированного жидк. Se уменьшается с увеличением содержания Cl, причем при содержании Cl 0,0125% характер зависимости ln  $\eta_0$  от конц-ии Cl меняется: при конц-иях <0,0125% эта зависимость нелинейна, а при конц-иях >0,0125% линейна. Аналогич-

вязкость

д. 1969. 21

ным образом зависит от конц-ии Cl кажущаяся энергия активации вязкого течения  $E_{vis}$ . Для чистого жидк. Se найдено  $E_{vis}=17,9$  ккал/моль. Авторы считают, что при конц-иях Cl < 0,0125% не происходит изменения длии молек. цепей, а лишь исчезают радикалы на концах цепей вследствие образования связей с атомами Cl. В этом случае из полученных ими данных вытекает, что наличие радикалов на концах цепей существенно влияет на вязкость. Конц-ия 0,0125% по мнению авторов, отвечает моменту исчезновения всех радикалов, а при больших конц-иях Cl происходит разрыв молек. цепей Se. Отмечается, что значение  $E_{vis}$  для чистого жидк. Se значительно превышает значения  $E_{vis}$  для орг. неразветвленных полимеров. Обсуждаются возможные причины такого различия значений  $E_{vis}$ .

Ю. Я. Гуревич

XII 884  
Ba, R<sub>6</sub>, G, Sc, Te (KN) 1969

Kawai N.

Proc. Phys. Soc., Japan,

1969, 94, 388-391

T

Se (upcues.)

XII-115 -- BS

1969

36575s Low-temperature specific heats of vitreous and single crystal selenium. Lasjaunias, Jean C. (Centre Rech. Tres Basses Temp., C.N.R.S., Grenoble, Fr.). *C. R. Acad. Sci., Ser. B* 1969, 269(16), 763-6 (Fr). The sp. heat of vitreous Se was measured at 1.5-22°K, and that of single crystal Se at 1.5-4.5°K. The sp. heat of single crystal Se follows the Debye law with a Debye temp. of  $152.5 \pm 0.7^{\circ}\text{K}$ , while the sp. heat of the amorphous phase is in excess of that of the single crystal.

DWJF

Cp

0.8

C.A. 1710

72.8

XII-115-B79

1969

Se

5 E805. Теплоемкость стеклообразного и монокристаллического селена при низких температурах. Lassauvianas Jean-Claude. Chaleur spécifique du sélénium vitreux et du sélénium monocristallin à basses températures. «С. т. Acad. sci», 1969, 269, № 16, B763—B766 (франц.)

Исследована теплоемкость ( $C$ ) образцов аморфного и монокристаллического Se: первого в интервале 1,47—22,47° К и второго — в интервале 1,54—4,53° К. У монокристалла  $C$  следует  $T^3$ -закону с т-рой Дебая 152,5° К. Теплоемкость аморфного Se существенно больше — в 4—5 раз при 1,5—3° К. Библ. 10.

А. К. Цикони

09.1970. 52

21 Б690. Влияние давления на некоторые свойства селена. Мамедов К. П., Багиров С. Б. «АзэрБССР» Елмләр Акад. хәбәрләри. Физ.-техн. вәрйазијјат елмләри сер., Изв. АН АзербССР. Сер. физ.-техн. и матем. н.», 1969, № 5, 8—11 (рез. азерб.)

Изучено влияния давления (7—19 кбар) на кристаллизацию Se при 130 и 170°. Образцы кристаллизовались в специальных пресс-формах в течение 30 минут, после чего производилось рентгеновское изучение и определение уд. электросопротивления и плотности (гидростатич. взвешиванием). Найдено, что давл. увеличивает степень кристалличности и плотность образцов. Уд. электросопротивление увеличивается с увеличением давл. от 7 до 13 кбар, а при дальнейшем увеличении давл. падает. С увеличением давл. параметр решетки  $a$  уменьшается, а с увеличивается, что связывается с различием характера и силы связи между атомами внутри цепочек (ковалентная) и цепочками (ван-дер-ваальсова).

Д. А.

Кристиан  
Мисаскин

X. 1970 · 21

XII 883

1969

Ba, G, Se (KN)

Matsuda H.

Progr. Theor. Phys.,  
1969, 42, 414-416

T

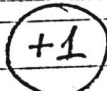
1969

Se (кр.)Se (стекл.)(C<sub>p</sub>)

8 E239. Динамика колебаний селена и триселенида мышьяка в кристаллическом и стеклообразном состояниях по данным низкотемпературной теплоемкости. Тарасов В. В., Жданов В. М., Мальцев А. К., Дембовский С. А. «Ж. физ. химии», 1969, 43, № 2, 467—471

Измерены значения  $C_p$  и рассчитана разность  $C_p - C_v$  для Se (кр.), Se (стекл.), As<sub>2</sub>Se<sub>3</sub> (кр.), As<sub>2</sub>Se<sub>3</sub> (стекл.) в интервале 55—300° К. Эксперим. значения теплоемкости Se (стекл.), As<sub>2</sub>Se<sub>3</sub> (кр.), As<sub>2</sub>Se<sub>3</sub> (стекл.), от 55—300° К находятся в согласии с вычисленными теоретически по однопараметровому ур-нию теплоемкости для цепочки. На основании близости эксперим. значений теплоемкости Se (кр.) и Se (стекл.), As<sub>2</sub>Se<sub>3</sub> (кр.) и As<sub>2</sub>Se<sub>3</sub> (стекл.) делается вывод о сохранении системы ковалентных связей между атомами при переходе кристалл — стекло.

Резюме авторов



9.1969 .88

1969

Se

14 Б652. Влияние добавок железа на поведение примесей серы и теллура в процессах очистки селена. Ванюков А. В., Герасимов А. Д., Устюгов Г. П., Чардзубов Ю. С. «Изв. АН СССР. Неорган. материалы», 1969, 5, № 1, 3—7

Методом однократного испарения исследовано фазовое равновесие и определены коэф. относительной летучести для систем Se—Te (2,72); Se—S (2,18); Se—As (66,3); Se—FeTe (2,80) и Se—FeS (8,2). Показано, что добавки Fe способствуют увеличению степени очистки Se от S.

Автореферат

Х. 1969. 14

1970

Se

91461p Effect of pressure on the melting point of selenium.

Alekseev, K. A. (USSR). *Tr. Metrol. Inst. SSSR* 1969, No.

104, 107-9 (Russ). From *Ref. Zh., Fiz., E.* 1970, Abstr. No.

5E500. Se m.p. were detd. at <14,400 kg/cm<sup>2</sup> from changes in  
elec. resistances, emf., and thermal effects. Errors in the  
thermocouple measured internal heating temps. are discussed.

(T<sub>m</sub>)

c.f. 1970.95.14

Se

Chang S.S.,  
Bestul A. B.

1970

Cp (C, hexagonal) 5 TT, N13, 30 cp  
5-360 K

Cp (VIT) 5-305 K

Cp (L) undercooled) ●  
310 - 330 K

1970

Se

7330U Transformations of red amorphous and monoclinic selenium. Gobrecht, Heinrich; Willers, G.; Wobig, D. (II Phys. Inst., Tech. Univ. Berlin, Berlin, Ger.). *J. Phys. Chem. Solids* 1970, 31(9), 2145-8 (Eng). Red amorphous Se transforms endothermically to black amorphous Se at  $\sim 30^\circ$  and exothermically to a trigonal variety at  $\sim 80^\circ$ ; samples stored for a long period of time at  $< 30^\circ$  show a transformation at  $\geq 106^\circ$  from a highly disordered monoclinic to a trigonal variety. The monoclinic variety, which forms at  $< 30^\circ$  from red amorphous Se, improves its structure with the duration of the storage. These findings are based on differential scanning calorimetry and x-ray anal.

BGJN

C.A.1971.74.1d

Se

1870

1 E416. Превращения красного аморфного и моноклинного селена. Gobrecht H., Willers G., Wobig D. Transformations of red amorphous and monoclinic selenium. «J. Phys. and Chem. Solids», 1970, 31, № 9, 2145—2148 (англ.)

Калориметрическим и рентгеновским методами изучены превращения в твердом Se при 17—40° С. Ниже 30° красный аморфный Se превращается в метастабильную моноклинную модификацию. Выше 80° образуется тригональная форма. Превращения связываются с особенностями строения твердого Se.

Б. Могутнов

T<sub>r</sub>

09. 1971. 18

1970

Se

102677a Thermoanalytical investigations of the allotropic change of selenium. Dorabialska, Alicja; Swiatkowski, Witold; Bednarek, Andrzej (Politech. Lodz, Lodz, Poland). *Roczn. Chem.* 1970, 44(4), 879-85 (Pol). The temp. and the heat of the allotropic change of the vitreous form of Se to the metallic form depend on the temp. of melting of Se to the vitreous form. Thus, the temp. was 63.8 and 77° and the heat evolved 4.76 and 11 cal/g for Se samples melted at 230 and 290°, resp. Also, I admixts. changed the crystn. temp. and heat of allotropic change. Thus, the crystn. temp. of Se decreased from 83.5 to 50° and the heat increased from 6.57 to 13.6 cal/g when the I content increased from 0.2 to 5 at. %. The low heat effect is probably due to the presence of a large no. of rings in vitreous Se (melted at low temps.) which hinders the crystn. process; I splits the ring.

A. Janowski

4 H tr

2. 1. 1970. 43.20

Se (m)

1970

(45833t) Measurement of vapor pressure in the  $10^{-3}$ -100 mm range by an effusion method. Ivanov, Yu. M.; Vanyukov, A. V. (Mosk. Inst. Stali Splavov, Moscow, USSR). Zavod. Lab. 1970, 36(11), 1355-8 (Russ). Satd. vapor pressure over liq. Se was detd. at 513-781°K and the satd. vapor pressure of Te was detd. at 636-958°K. The vapor in equil. with solid and liq. Te is mainly  $\text{Te}_2$  mols. Temp. dependences of total vapor pressure of Se and Te obtained by different methods are shown. The vapor pressures of Se and Te obtained in the wide temp. range agree with those reported in the literature. K. S. Kalidass

(P)

(+)

(X)

C.A. 1971 11 10.

Se

1940

referred to  
as "Sa"

B90-6238-VII

Mazzeavo J. E., High Camp.-High  
Resources, 1970, 2, 13, 503-505.

1970

Se

) 2 E686. Теплоемкость выше 320° К и теплота плавления гексагонального селена. Moynihan C. T., Schnaus U. E. Heat capacity above 320° K and heat of fusion of hexagonal selenium. «Mater. Sci. and Eng.», 1970, 6, № 4, 277—278 (англ.)

Приведены результаты измерений теплоемкости Se, полученные в области т-р 320—480° К с помощью диффер. калориметра; случайная погрешность данных 0,2—0,3 кал/г · ат · град. Результаты описываются ф-лой:  $C_p$  (кал/г · атом · град) =  $4,96 + 0,00253 T$  ( $T$  в °К). Для энталпии плавления получено  $1490 \pm 40$  кал/г · ат.

Л. П. Филиппов.

Cp

$\Delta H_m$

оп. 1971. 2

1970

Se

5 Б896. Теплоемкость при температурах выше 320° К и теплота плавления гексагонального селена. Моупи-хан С. Т., Schnaus U. E. Heat capacity above 320° K and heat of fusion of hexagonal selenium. «Mater. Sci. and Eng.», 1970, 6, № 4, 277—278 (англ.)

С помощью дифференциального калориметра при темпера-  
трах 320—480° К измерена теплоемкость гексагонально-  
го Se. Полученные данные описываются уравнением  
 $C_p$  (кал/г-атом·град) =  $4,96 + 0,00253 T$  ( $^{\circ}$ К). Определена  
теплота плавления Se:  $1500 \pm 40$  кал/г-атом. Результаты  
сопоставлены с лит. данными. И. А. Клейман

Ср

А. Н. м

X. 1971.

5

Se

1970

Cp

DHm

(124240e) Heat capacity above 320°K and heat of fusion of hexagonal selenium. Moynihan, Cornelius T.; Schnaus, U. E. (Vitreous State Lab., Cath. Univ. of America, Washington, D.C.). *Mater. Sci. Eng.* 1970, 6(4), 277-8 (Eng). Heat capacity data at 320-480°K are represented by  $C_p$  (cal/g atom degree) =  $4.96 + 0.00253 T/\text{°K}$ . The fusion enthalpy of hexagonal Se was 1500 cal/g atom. Comparisons are made with related data.

J. W. Taylor

C.A.

1970.73-24

1941

Se

Чернозубов И. С. и др.

Tb,

(Редкоземелье „Ж. газ.

P,

журнал "СССР"), М., 1971,

$\Delta H_V$

11

(ав. S) I

Se (nc)

1971

(105462h) ESR measurements on the polymerization of liquid selenium. Koningsberger, D. C.; Van Wolput, J. H. M. C.; Rieter, P. C. U. (Dep. Phys., Univ. Technol., Eindhoven, Neth.). *Chem. Phys. Lett.* 1971, 8(1), 145-7 (Eng). The av. g-value of the ESR signal of liq. deoxygenized Se at  $240^\circ < T < 420^\circ$  is  $2.03 \pm 0.02$ . The temp. dependence of the intensity and linewidth results from a polymn. process. The heat of scission of Se-Se bonds in chains is  $29 \pm 3$  kcal/mole,  $\text{Se}^{*(i+)} \leftrightarrow \text{Se}^*;$  +  $\text{Se}^*;$ , where  $\text{Se}^*;$  = Se diradical with  $i$  atoms. DWJN

no esr signal!

C.d. 1971. 4/20.

Se

1971

Cp

54237z Analysis of the specific heat and thermal conductivity of vitreous selenium above 1°K. Lasjaunias, J. C.; Maynard, R. (Cent. Rech. Tres Basses Temp., CNRS, Grenoble, Fr.). J. Non-Cryst. Solids 1971, 6(2), 101-6 (Eng). The excess sp. heat and the dip in the thermal cond. of vitreous Se near 5°K are analyzed in terms of a band of addnl. modes which scatter the acoustic phonons strongly. The value of the lowest frequency of this band is  $\hbar\omega_R/k_B = 11^\circ\text{K}$ , a value very similar to the case of vitreous silica and germania.

C.A. 1971. 45. 8

Se

Malaspina Z., et al. <sup>1941</sup>

SHm

Gazz. chim. ital.

1941, 101, n. 3, 194.

BPP

(Ces. di) I

XII-435

1971

Se

№19 Б756. Теплоемкость и равновесная полимеризация стеклообразного Se. Mo up ihan C. T., Schnaus U. E. Heat capacity and equilibrium polymerization of vitreous Se. «J. Amer. Ceram. Soc.», 1971, 54, № 3, 136—140 (англ.)

При помощи дифференциального сканирующего калориметра измерена теплоемкость стеклообразного Se в интервале т-р 180—280° К. Образцы приготавливали из Se чистотой 99,99% расплавлением и послед. закалкой до комн. т-ры. В кач-ве стандарта использовали  $\text{Al}_2\text{O}_3$ ; скорость нагревания 20 град/мин. Эксперим. данные выражаются ур-нием  $C_p = 8,85 - 7,69 \cdot 10^{-3} T - 6,79 \cdot 10^4/T^2$ .

СР-

X. 1971 19

точность измерений оценивается в 0,1—0,2 кал/г·ат·град.  
Измерена также теплоемкость жидк. Se в интервале т-р  
320—600° К как при нагревании, так и при охлаждении  
образцов со скоростями 10 и 20 град/мин. Полученные  
результаты согласуются с лит. данными. С использова-  
нием теории равновесной полимеризации Тобольского  
рассчитан вклад в теплоемкость жидк. Se от превраще-  
ния колец  $Se_8$  в полимерные цепи  $Se_n$  и определена  
т-риая зависимость теплоемкости жидк. Se. Эксперим.  
данные согласуются с расчетными в пределах ошибки из-  
мерений.

П. М. Чукров

Se (ne)

1971

115210c Heat capacity and equilibrium polymerization of vitreous selenium. Moynihan, Cornelius T.; Schnaus, U. E. (Vitreous State Lab., Cathol. Univ. Am., Washington, D.C.). *J. Amer. Ceram. Soc.* 1971, 54(3), 136-40 (Eng). The contribution to the heat capacity of liquid Se,  $\bar{C}_{p,r}$ , arising from the ring-polymer equil. was calcd. from the equil. polymn. theory of Tobolsky and coworkers. Above the polymn. transition temp. ( $\approx 360^{\circ}\text{K}$ ),  $\bar{C}_{p,r} \approx (1/8)(\Delta H_2^2/RT^2)(M/M_0)$ , where  $\Delta H_2$  is the enthalpy change for the polymn. propagation step and  $(M/M_0)$  is the monomer fraction of  $\text{Se}_8$  rings. Below the transition temp.,  $\bar{C}_{p,r}$  is negligibly small. Heat capacities were measured for glassy and liq. Se  $180^{\circ}-280^{\circ}\text{K}$  and  $320^{\circ}-600^{\circ}\text{K}$ , resp. By using available literature data and the equil. polymn. theory, the temp. dependence of the heat capacity of liq. Se was calcd.; it agreed within exptl. error with the measured temp. dependence.

RCJC

C.A. 1971, 44, n 22.

Se

1971

11 Б1010. Различные формы аморфного Se. Rich-  
ter H., Breitling G. Verschiedene Formen von амот-  
ическом Selen. «Z. Naturforsch.», 1971, 26a, № 10, 1699—1708  
(нем.)

Рассмотрены различные формы аморф. Se. Все формы аморф. Se обладают подобием крист. решетки с общим для всех форм конструктивным элементом — равнобедренным треугольником с углом связи  $105^\circ$  и длиной связи  $r_1$  2,32 Å (боковая сторона треугольника) и расстоянием через один атом (основание треугольника) —  $r_2$  3,69 Å. Структура Se-I представляет собой винтовые цепи, Se-II и Se-III — зигзагообразные цепи с ближайшими

Гр-ре

X·1979·11

расстояниями между атомами различных цепей 3,68 и 3,86 Å соотв. Сконденсированный из паров аморф. Se при  $-180^\circ$  представляет собой форму II, а при коми. т-ре — III. Рассмотрен вопрос о существовании колец  $\text{Se}_6$  в форме II (а также  $\text{Se}_8$ ) — доказано, что они не существуют. Распл. Se от  $270^\circ$  образуется преимущественно из Se-III и представляет собой Se-I. Структура Se-I часто наблюдается в затвердевшем стеклообразном Se. В расплавленном Se от  $425^\circ$  на кривой распределения атомов имеются аналогичные расстояния:  $r_1$  2,30,  $r_2$  3,67 Å, т. е. основной элемент структуры аморф. Se

сохраняется и в жидким Se при  $425^\circ$ , причем цепи сильно искажены.

А. Ф. Триппель

Se (amorphous.)

1871

- 90387c Different types of amorphous selenium. Richter,  
H.; Breitling, G. (Max-Planck-Inst. Metallforsch., Stuttgart,  
Ger.). Z. Naturforsch. A 1971, 26(12) 2074-5 (Ger). At.  
distribution curves of molten Se at  $240 \pm 25^\circ$  were plotted.  
Chain bond of solid amorphous and molten Se was evident  
from the 2nd max. of the curves. The sepn. of the 1st max.  
from the differential max. in the intensity curve of amorphous  
Se evapd. at the temp. of liq. air is discussed.

upward  
measured.

$240 \text{ and } \pm 25^\circ$

C.A. 1872. 76. 16

Se

1971

11287y Mechanism of selenium allotropic transformations.  
Swiatkowski, Witold (Politech. Lodz., Lodz, Pol.). *Wiad. Chem.* 1971, 25(3), 211-20 (Pol). A review with 39 refs. The phys. properties of both the amorphous (red, glassy, liq.) and cryst. forms of Se are described. Interat. distances and types of polymn. are given. The energy balance of the allotropic transformations is presented. A mechanism for these is suggested based on "ring-chain conversion."

I. Fessel

C.A. 1971. 75. 2

Se

Zeller R.C.,  
Dohle R.O.

1941

G<sub>2</sub>

Phys. Rev. B: Solid State,  
1941, 4, ~6, 2029.



Se (nouvelles)

1972

76610e Specific heat of polycrystalline selenium between 4.2 and 30°K. Berton, A.; Lasjaunias, J. C. (Cent. Rech. Tres Basses Temp., CNRS, Grenoble, Fr.). *Phys. Status Solidi B* 1973, 55(1), K79-K82 (Eng). The exptl. sp. heats of polycryst., trigonal Se (99.999% purity) were  $C_p = 0.583, 2.590, 6.738, 11.49, 41.27$ , and  $71.52 \text{ mJ/g degree}$  at  $T = 4.400, 7.066, 9.454, 11.36, 19.70$ , and  $27.74^\circ\text{K}$ , resp. The exptl.  $C_p/T^3$  vs.  $T$  curve was reproduced (to better than 2%) by calcd.  $C_p$  values assumed to be the sum of a Tarasov contribution and an Einstein contribution. The peak in the  $C_p/T^3$  curve obsd. at  $T \approx 10.5^\circ\text{K}$  corresponded to the peak at  $\omega_0 = 42 \text{ cm}^{-1}$  in the phonon frequency distribution due to acoustic vibrations near the zone boundary (A. Axmann, et al., 1967).

( $C_p$ )

C.A. 1973. 78 N 12

Se

1972

3 Б423. Уточнение кристаллической структуры монооклинного  $\alpha$ -Se. Chergin Paul, Unger Phyllis. Refinement of the crystal structure of  $\alpha$ -monoclinic Se. «Acta crystallogr.», 1972, B28, № 1, 313—317 (англ.)

Рентгенографически изучены (порошковый и монокристальный дифрактометр,  $\lambda$  Cu и Mo, 1108 отражений, МНК, анизотропное приближение,  $R=0,072$ ) кристаллы монокл. модификации  $\alpha$ -Se (I), выращенные выпариванием насыщ. р-ра Se в  $CS_2$ . Параметры монокл. решетки:  $a = 9,054$ ,  $b = 9,083$ ,  $c = 11,601\text{ \AA}$ ,  $\beta = 90,81^\circ$ ,  $\rho$  (изм.) 4,46,  $\rho$  (выч.) 4,43,  $Z = 4$ , ф. гр.  $P2_1/n$ . Структура I построена из коронообразных кольцевых молекул  $Se_8$  с примерной симметрией 82  $m$ . Конфигурация молекулы и значения длин связей и валентных углов согласуются с ранее определенными (Burbank R. D., Acta crystallogr., 1951, 4, 140). Четыре атома молекулы образуют,

X: 1972. 13

квадрат в плоскости  $Ax+By+Cz=D$  с коэф.  $A = -0,1193$ ,  $B = -0,9147$ ,  $C = 0,3866$ ,  $D = 3,269$ ; четыре остальных атома располагаются в примерно параллельной плоскости с коэф.  $A = -0,1334$ ,  $B = -0,9168$ ,  $C = 0,3763$ ,  $D = 4,495$ . Межатомные расстояния Se—Se в молекуле 2,326—2,346 отвечают ковалентному характеру связи и намного короче расстояний Se—Se в структуре модификации тригон. Se (II); валентный угол SeSeSe в молекуле  $105,7^\circ$  (по сравнению с  $103,1^\circ$  в II). Некоторые межмолек. расстояния в I (3,48—3,70 $\text{\AA}$ ) значительно короче суммы ван-дер-ваальсовых радиусов (4,0 $\text{\AA}$ ), однако все же существенно превышают значение этих расстояний в структуре II. В структуре I с учетом коротких межмолек. связей могут быть выделены цепи из атомов Se, что может быть привлечено для объяснения быстрого перехода I в II (обладает цепочечной структурой) при т-ре  $80^\circ$ .

С. В. Рыкова

$\beta, \beta_2, \text{Te}$  ( $T_b$ ,  $\delta H_V$ , p) XII 995  
1972

Черноозубов И.С., Кузнецов Б.П.,  
Клишевко А.А., Погодинский  
Е.В., Ил. срез. хим., 1972, № 1,  
№ 1, 245

б

(cp)

Se I

1972

2 Е305. Кристаллизация и морфология полимерного селена и его неорганических сополимеров. Статей Richard G. Crystallization and morphology of polymeric selenium and its inorganic copolymers. «Amer. Chem. Soc. Polym. Prepr.», 1972, 13, № 2, 799—804 (англ.)

Синтез.

Изучались структуры, образующиеся при кристаллизации чистого Se (I) и его сополимеров с As (II) и Te (III). В случае I образуются сферолиты с радиально растущими ламелями, ось которых ориентирована перпендикулярно тонкой (100—200 Å) ламели. Кристаллы росли вдоль направления <210>. Вычисленная поверхн. энергия ламели  $\sigma_e$  равна 19 ккал на моль скла-

(Ред. на об.)

за  
уста

(РЭЧЭР)-2-43

док. При нагреве выше 125°C полимероподобные кристаллы Se преобразуются в металлич. Se. Введение As приводит к образованию разветвленных цепей в II, из-за чего кристаллизация замедляется, а при конц-лии ( $C_{As}$ ) As больше 1% форма кинетич. кривых отклоняется от обычной S-образной. На термограммах плавления II, полученных с помощью диффер. сканирующего калориметра, перед основным пиком появляется еще один сильно размытый пик, связанный с подавлением процесса утолщения ламелей со складчатыми цепями ниже т-ры плавления из-за наличия точек разветвления в цепях II. Этот эффект наблюдался только на образцах, кристаллизованных при т-ре <125°C, т. к. выше 125°C образуются кристаллы с вытянутыми цепями. Введение Te делает цепные молекулы более жесткими, в результате чего толщина образующихся в III складчатых ламелей растет с увеличением конц-лии Te. Ламели III имеют ветвистую структуру, близкую по характеру ламелям полимеров.

Н. М. Гальперина

Se

16 В834. Кристаллизационное поведение красного аморфного селена. Gobrecht H., Willers G., Wobig D. Über das Kristallisationsverhalten von rotem amorphem Selen. «Z. phys. Chem.» (BRD), 1972, 77, № 1—6, 197—209 (нем., рез. англ.)

При помощи дифференциального энталпийного анализа и рентгеновских исследований изучено кристаллизация и поведение красного аморфного селена. В-во приготовлено путем быстрого охлаждения паров селена. Кристаллизация зависит гл. обр., от т-ры выдержки образца. Ниже 30° красного аморфного Se переходит только в монокл. модификацию. В-во кристаллизуется полностью. Выше 30° часть Se превращалась в тригон. форму. Кол-во аморфной модификации может быть описано, как функция времени выдержки при помощи модифицированного ур-ния Аврами. Кол-во остающегося аморфного в-ва зависит от т-ры выдержки. Красный аморфный Se, приготовленный хим. путем кристаллизуется в тригон. модификацию ниже 30°.

Резюме

X. 1982. 16

Se

1972

Коренев Ю.И., Карабеев Н.И.,  
Пимонова Л.А и гр.

(P)

"№. drug. химии" 1972, 46.,  
N 7, 1714-1717.

(ес. Zn, I)

XII - 1274

1973

Se;

SiO<sub>2</sub>

GeO<sub>2</sub>

(Cp)

+ 105141v Thermal properties of vitreous systems at low temperatures. Lasjaunias, J. C. (Cent. Rech. Tres Basses Temp., CNRS, Grenoble, Fr.). *Bull. Soc. Fr. Mineral. Cristallogr.* 1972, 95(6), 744-53 (Fr). The thermal properties (sp. heat and thermal cond.) of some vitreous systems (Se, SiO<sub>2</sub> and GeO<sub>2</sub>) between  $T = 1^{\circ}\text{K}$  and the room temp. are analyzed in terms of a resonant scattering of phonons by localized excitations at low frequencies. Moreover below  $1^{\circ}\text{K}$ , the sp. heat exhibits a large departure from the  $T^3$  law.

C.A. 1973 28N 2/10

+2

Se

1972

90996a Specific heat of vitreous selenium below 1°K. Las-  
jaunias, J. C.; Maynard, R.; Thoulouze, D. (Cent. Rech.  
Tres Basses Temp., CNRS, Grenoble, Fr.). *Solid State Com-  
mun.* 1972, 10(2), 215-17 (Eng). The sp. heat of a sample of  
Se initially in the vitreous state and after it has been recrystd.  
has been measured to 0.1°K. With respect to the expected  $T^3$   
law, the vitreous phase exhibits a large excess heat capacity which  
almost disappears when the sample is recrystd.

(Cp)

C.A. 1972. Fe. 16

*Se*

7 E243. Теплоемкость стеклообразного селена ниже  
1° K. Lasjaunias J. C., Maynard R., Thouin D. Specific heat of vitreous selenium below 1°K.—  
«Solid State Commun», 1972, 10, № 2, 215—217 (англ.;  
рез. франц.)

*G*

В интервале т-р 0,1—1° K, получаемых методом адабатич. размагничивания, измерена теплоемкость  $C_p$  образца Se в двух состояниях: исходном стеклообразном, а затем, после температурной обработки, — кристаллическом. Погрешность измерения  $C_p$  при самых низких т-рах составляет 4% для стеклообразного образца и ~25% для рекристаллизованного. В обоих случаях ни-

*РЖФ,*

*46 1972*

же  $0,3^{\circ}$  К наблюдается отклонение от закона  $C_p \sim T^3$ , более сильное для стеклообразного образца, причем для кристаллич. образца вблизи  $0,2^{\circ}$  К кривая «избыточной теплоемкости» проходит через максимум, а абс. величина  $C_p$  при  $0,1^{\circ}$  К почти в 10 раз меньше. Показано, что стандартная ф-ла Дебая для описания полученных результатов оказывается неприменимой и удовлетворительное согласие может быть получено, если  $C_p = AT^{0.5} + BT^{3.2}$ , в соответствии с данными, найденными ранее для различных стекол. П. В. Тамарин

Se

BP-XII-1112

1972

16 Б833. Фазовые переходы в гексагональном и аморфном селене при высоком давлении. МcСапп D. R., Cartz L. High-pressure phase transformations in hexagonal and amorphous selenium. «J. Chem. Phys.», 1972, 56, № 6, 2552—2554 (англ.)

Методом рентгеновского анализа под давлением с использованием алмазных наковален диам. 0,5 мм исследован полиморфизм Se в диапазоне давл. до 165 кбар. В кач-ве в-ва свидетеля применяли NaCl, параметры решетки к-рого рассчитывали по ур-нию состояния Декера. Обнаружено, что гексагон. Se переходит в новую модификацию при  $140 \pm 10$  кбар. Это соответствует отношению  $c/a$ , равному 1,42. Переход, наблюдаемый в Se, необратим; после снятия давл. липкий исходной фазы не обнаружено. Для исходного в-ва, образца при 140 кбар,

X. 1972:

16

165 кбар и после снятия давл. приведены значения меж-  
плоскостных расстояний. Структура новой модификации  
не расшифрована. Аморфный Se начинает кристаллизо-  
ваться при 60 кбар и в дальнейшем ведет себя анало-  
гично гексагон. Se. Переход в Se при 140 кбар напоми-  
нает переход в Te при 40 кбар, т. к. отношение  $c/a$  при  
превращении в Te тоже равно 1,42. Г. Л. Апарников

XII-1526

1972

Sc ( $\Delta H$ ) n gp.

MaeKawa T., Yokokawa T.,  
Niwa K.,  
Bunsei Kenkyu, 1972, 17(4),  
282-6

A, M

Bi, Se, Sb, Te, S ( $\Delta H_{mix}$ ) 12 1972  
13 15

Shackawa Takashi, Yokokawa Toshio,  
Niwa Kichizo BP-XII 1120

J. Chem. Thermodyn., 1972, 4, N6, 873-828  
(242n.). Enthalpies of mixing in the  
Liquid state. IV. Bi+Se and Sb+Se.

PHL 400, 1973

85802

B, M

cp

14/11/73  
28/11/73  
11/12/73  
12/12/73  
13/12/73

Se

ommues 3597

1972

Margradae J. L.

Collag. Int. Cent. Nat.

Tm, ♂ Hm  
♂ Sm, Cp.

Rect. sci, 1972, N205

21-7.

$\text{SiO}_2$ ;  $\text{GeO}_2$ ,  $\text{Se}(\text{cp})$  XII - 1250

TJ72

Papoulaire M.,

12,14 Dec.

J. Phys. (Paris), Colloq., 1972, N° 91-4

(opposus.)

Acoustic and thermal properties of glasses at low temperature.

F (cp)

PA. 104240 N°. 4639 Y, 15

1972

j  
-e

16 Б711. Тепловые эффекты кристаллизации селена  
 в органических средах. Поротиков А. П., Хол-  
 лер В. А., Луфт Б. Д., Кузнецова Л. В. «Изв.  
 АН СССР. Неорганические материалы», 1972, 8, № 5, 793—797.

С помощью микрокалориметра типа Кальве исследо-  
 ваны тепловые эффекты кристаллизации порошкообраз-  
 ных образцов стеклообразного Se под действием хино-  
 лина, пиридина, диэтиламина при комн. т-ре. Установ-  
 лено, что теплота смачивания незначительна и сама по  
 себе не может инициировать кристаллизацию стеклооб-  
 разного Se. Термогравиометрическое исследование  
 показало, что теплота кристаллизации Se марки В5 в  
 указанных средах оказалась равной (после вычета по-  
 бочных, раздельно определенных, тепловых эффектов)

Х. 1972

16

соотв.  $10,4 \pm 0,5$ ,  $10,7 \pm 0,4$ ,  $10,9 \pm 0,4$  кал/г. Показано, что тепловой эффект кристаллизации Se в орг. средах сильно зависит от чистоты Se и не зависит от способа охлаждения расплава до стеклообразного состояния. При модифицировании Se хинолином, пиридином, диэтиламином величины тепловых эффектов кристаллизации и различие между ними не столь значительны, чтобы можно было предполагать образование стойкого хим. соединения Se с модификатором. Автореферат

XII - 1140

1972

Se (sub) ngr (ΔG)

Бисерников А.Н., Николаев Г.Ф.,  
Одн. определ. Красн., 1972, №,  
49-53

М

1972

Se

2 E1321. Магнитная восприимчивость кристаллического и аморфного селена. White R. M., Коен-Лег R. F. Magnetic susceptibility of crystalline and amorphous selenium. «Phil. Mag.», 1972, 26, № 3, 757—760 (англ.)

(χ)

Методом Фарадея в поле напряженностью 3 кгс в интервале т-р от комнатной до 40°К измерена магн. восприимчивость  $\chi$  кристаллического ( $\alpha$ -моноклинного и тригонального) и аморфного Se. Найдено, что исследуемые образцы динамагнитны и обладают не зависящей от т-ры восприимчивостью. Обращается внимание на то, что  $\chi$  аморфного Se в пределах точности эксперимента совпадает с величиной  $\chi$  моноклинного и тригонального Se.

Р. А. Шилова

(Ф.74649) -73-2

1973

Se

Baker E.H.

Phys. Chem process

(P)

Metall. Richardson conf.

Pap. 1973 (1974) 11-17

(Eng.).

(see Cd; I)

Se

Б97-XII-1154

1973

2 E904. Теплоемкость поликристаллического селена между 4,2 и 30 К. Berton A., Lasjaunias J. C. Specific heat of polycrystalline selenium between 4.2 and 30 K. «Phys. status solidi (b)», 1973, 55, № 1, K79—K82 (англ.)

На температурной зависимости теплоемкости поликристаллич. Se при низких т-рах обнаружено аномальное отклонение от зависимости  $C/T^3$ , характерное для аморфных систем. Получено, что с учетом эйнштейновского вклада удается хорошо описать эксперим. результаты в приближении модели Тарасова. В. Е. Зиновьев

д. 1974 № 2

БР-XII-1154

1973

Se

D 5 Б722. Теплоемкость поликристаллического селена  
в интервале 4,2—30 К. Bergon A., Lasjaunias J.C.  
Specific heat of polycrystalline selenium between 4.2 and  
30 K. «Phys. status solid (b)», 1973, 55, № 1, K79—  
K82 (англ.)

(Cp)

В адиабатическом калориметре измерена теплоемкость поликрист. образца селена в интервале 4,2—30 К, обнаружена аномалия в ходе теплоемкости при 10—11 К. Частоты колебаний решетки селена были рассчитаны путем представления эксперим. теплоемкости в виде суммы вкладов, рассчитываемых по Тарасову и Эйнштейну. Теплоемкость, связанная с колебаниями двумерной решетки, представлена соотношением  $C_v/3R = D_1(0_1/T) - \theta_3/\theta_1 [D_1(\theta_3/T) - D_3(\theta_3/T)]$ , где  $0_1 = 370$  и  $\theta_3 = 98$  К. Вклад теплоемкости по Эйнштейну выражен зависимостью  $\Delta C = 0,975 E (60/T)$ , из к-рой определена частота колебаний  $\omega = 42 \text{ см}^{-1}$ . Обсуждена низкот-риая теплоемкость стеклообразного и крист. селена.

П. М. Чукров

X. 1974

N 5

*Se*

(ΔH<sub>cryst</sub>)

C.A. 1974  
80 N 6

31166q Optically induced phase transition in amorphous materials. Carballés, J. C.; Clement, R.; De Cremona, B. (Lab. Cent. Rech., Thomson-CSF, Paris, Fr.). *Rev. Tech. Thomson-CSF (Co. Gen. Telegr. Fil)* 1973, 5(2), 225-55 (Fr). The enthalpy of crystn. ( $\Delta H \sim 9.50$  cal/mole) of amorphous thin Se films (thickness  $d = 1000 \text{ \AA}$  to  $10 \mu$ ) vacuum-evapd. onto glass substrates (maintained at  $25^\circ$ ) was measured by using the described thin-film DTA app. In the photocrystn. of amorphous Se films maintained at  $30$ - $70^\circ$ , low-intensity ( $\leq 10 \text{ mW/cm}^2$ ) irradn. at  $\lambda = 0.4$ - $0.47 \mu$  accelerated the crystn. but did not cause nucleation, which was heterogeneous and occurred at the glass-Se interface. The texture of photocrystd. Se was different than that of Se crystd. without illumination. In the crystn. process, the effect of electron-hole pair creation by optical irradn. was different than that by electron bombardment. To obtain point holog. inscription in amorphous Se films ( $d = 2000 \text{ \AA}$ ) by irradn. with a pulsed ( $1 \mu\text{sec}$  to  $1 \text{ msec}$ ) ionized Ar laser beam ( $\lambda = 4880 \text{ \AA}$ ), an illumination intensity of  $0.1 \text{ J/cm}^2$  was required. Photocrystn. was not obtained by irradn. with very short pulses ( $10 \text{ nsec}$ ) from a ruby laser ( $\lambda = 6943 \text{ \AA}$ ). In the holog. inscription of amorphous Se films, an ionized Ar laser was used to form the image, and a He-Ne laser was used to reconstruct the hologram. The obsd. photocrystn. effect was not purely thermal in nature.

1973

13/8

XII

1973

Se(c, glass, ℓ)

Chang S.S.

ep,

BTT N16

5 - 360K

P-72

Se

✓ 13 Б775. Термографическое исследование селена.  
Гальвидис Н. М., Стронгин Б. Г., Парасин-  
чук Н. С. «Изв. АН СССР. Неорганические материалы», 1973,  
9, № 2, 176—178

1973

Методом ДТА в широком температурном интервале исследовано поведение селена [марки «селен для выпрямителей» (99,998%)]. Образцы помещали в эвакуированные до  $\sim 10^{-4}$  мм кварцевые ампулы. В результате проведенных исследований получены сведения о превращениях в селене, находящемся в различных агрегатных состояниях. Стеклообразное состояние селена достигалось закалкой от температуры 250—1000° в воду с температурой 18°. При нагревании образцов непосредственно после закалки на всех кривых нагревания ДТА фиксировались тепловые эффекты. Очень устойчивы по температуре два эффекта — при 30 и 40°: первый экзотермич., очевидно, связан с образованием межмолек. связей между различными структурными единицами-звеньями, цепочками различной длины и типа; второй эндотермич. может быть обусловлен разрывом межмолек. связей, доминирующих в селене при данной температуре. При более высокой температуре наиболее стабилен эндотермич. эффект при  $\sim 100^{\circ}$ , который вероятно связан с пере-

(T<sub>m</sub>)

БР-Х/11/11/24

Х. 1973 № 13

стройкой структуры перед образованием крист. модификации. При охлаждении от высоких т-р при  $\sim 200^\circ$  возникает большой экзотермич. эффект, обусловленный образованием гексагон. крист. модификации. Это положение подтверждается последующим нагреванием, при к-ром полностью отсутствует экзотермич. эффект кристаллизации. Область кристаллизации — плавление — начинается от т-ры  $\sim 100^\circ$  и кончается при т-ре  $\sim 220^\circ$  эндотермич. эффектом плавления. Кроме известных эффектов кристаллизации и плавления, обнаружены новые, связанные, вероятно, с рекристаллизацией процессами. Жидкое состояние изучали от т-ры плавления до  $650^\circ$ . В этом т-рном интервале наблюдаются эндотермич. эффект при т-ре  $250^\circ$  и серия тепловых эффектов начиная от  $300—320$  до  $500^\circ$ . Можно предположить, что обнаруженная серия тепловых эффектов связана с диссоциативно-ассоциативными процессами. Наличие этих эффектов свидетельствует о том, что молекулярно-ассоциативные процессы формирования структуры идут еще в жидкком состоянии задолго до кристаллизации. А. В. Салов

Se

XII - 10823

1973

U-1406

- 70823a Heat capacities and thermodynamic properties of hexagonal and liquid selenium in the range 298 to 1000°K. Enthalpy and temperature of fusion. Grønvold, Fredrik (Dep. Chem., Univ. Oslo, Blindern/Oslo, Norway). *J. Chem. Thermodyn.* 1973, 5(4), 525-31 (Eng). The heat capacity  $C_p$  of Se was detd. by adiabatic-shield calorimetry in the range 298 to 1000°K. Values of thermodn. functions were calcd. and  $C_p$  (1000°K), enthalpy  $\{H^\circ(1000^\circ\text{K}) - H^\circ(298.15^\circ\text{K})\}$ , and entropy  $\{S^\circ(1000^\circ\text{K}) - S^\circ(298.15^\circ\text{K})\}$  are  $35.62 \text{ J}^\circ\text{K}^{-1} \text{ mole}^{-1}$ ,  $28.593 \text{ kJ mole}^{-1}$ , and  $49.81 \text{ J}^\circ\text{K}^{-1} \text{ mole}^{-1}$ , resp. Hexagonal Se melts at  $(494.33 \pm 0.02)^\circ\text{K}$  and the enthalpy of fusion is  $(6159 \pm 4) \text{ J mole}^{-1}$ .

$C_p$

$(298-1000^\circ\text{K})$

C. A.

1973

79 N12

① Se ( $T_{\text{g}}$  op)  
part.

17

Se (nc)

XII - 1204

1973

9) 11 E960. Теплоемкость и термодинамические свойства гексагонального и жидкого селена в области от 298 до 1000° К. Энталпия и температура плавления. Grop-  
vold Fredrik. Heat capacities and thermodynamic properties of hexagonal and liquid selenium in the range 298 to 1000° K. Enthalpy and temperature of fusion. «J. Chem. Thermodyn.», 1973, 5, № 4, 525—531 (англ.)

Измерения проведены с помощью адиабатич. калориметра. Для термодинамич. ф-ций получены следующие значения  
 $C_p(1000^{\circ}\text{K}) = 35,65 \text{ дж/моль\cdotград}$ ,  
 $H^{\circ}(1000^{\circ}\text{K}) - H^{\circ}(298,15^{\circ}\text{K}) = 28,593 \text{ кдж/моль}$ ,  
 $S^{\circ}(1000^{\circ}\text{K}) - S^{\circ}(298,15^{\circ}\text{K}) = 49,81 \text{ дж/моль\cdotград}$ . Т-ра плавления  $494,33 \pm 0,02^{\circ}\text{К}$ , энталпия плавления  $6159 \pm 4 \text{ дж/моль}$ .

$\Delta H$ ;  $T_m$

$C_p$ ;

ф. 1973 N 11

11406

1

5

23 Б860. Теплоемкости и термодинамические свойства гексагонального и жидкого селена в интервале 298—1000° К. Энталпия и температура плавления. Grönvold Fredrik. Heat capacities and thermodynamic properties of hexagonal and liquid selenium in the range 298 to 1000° K. Enthalpy and temperature of fusion. «J. Chem. Thermodyn.», 1973, 5, № 4, 525—531 (англ.)

1973

В адиабатич. калориметре измерена теплоемкость тв. и жидк. Se в интервале 298—1000° К. Был использован метод периодич. ввода теплоты с достижением т-рного равновесия между процессами ввода теплоты. Табулированы эксперим. величины  $C_p$  и сглаженные величины  $C_p$ ;  $H_t - H_{298}$ ;  $S_t - S_{298}$  в интервале 298—1000° К. Определена т. пл. Se ( $494,33 \pm 0,02$ ° К) и энталпия плавления ( $6159 \pm 4$  дж/моль). Теплоемкость гексагон. Se возрастает от 25,05 при 298° К до 27,30 дж/моль·град в точке плавления. Теплоемкость жидк. Se равна примерно 36 дж/моль·град при 500 и 1000° К и 33,3 дж/моль·град при 780° К.

П. М. Чукунов

23-1406

Х. 1973 N 23

XII-1973

Rec'd. September 1973.

1973

Serfog)

Hultgren R., et al.

Selected Values of the  
Thermodynamic Properties  
of the Elements. N. S. Ohio,  
ASCE, 1973, p. 457.

M. op.  
go 1000%

Se

κμcm.  
emptycm.

Hursthouse M.B.,  
<sup>1933</sup>

Mol. Struct. Diffract.

Metlt. 1, London, 1973,  
779-88

● (crys O<sub>2</sub>; I)

1973

XII - 1236

Se

(Cp)

58355s Specific heat measurements of trigonal and vitreous selenium between 3 and 300°K by a heat pulse method. Krueger, R.; Meissner, M.; Mimkes, J.; Tausend, A. (II. Phys. Inst., Tech. Univ. Berlin, Berlin, Ger.). *Phys. Status Solidi A* 1973, 17(2), 471-8 (Eng). A heat pulse method applied to measurements of the sp. heat of very small samples ( $\geq 10$  mg) in the low temp. range is described. The accuracy of the method was tested by detg. the sp. heat of sapphire and comparing it to values reported previously. Sp. heat data for 4 samples of Se of different structure (two vitreous, a trigonal polycryst., and a trigonai single cryst. sample) are reported at 3 to 300°K. For the single crystal at  $< 10^{\circ}\text{K}$  the sp. heat shows a cubic temp. dependence, in contrast to those samples with vitreous phases which show excess sp. heats similar to the behaviour found in some other materials with amorphous and cryst. structure.

Cat. 1974.79 n10

Se

XII-1236

1973

Cp

1 E990. Измерения методом тепловых импульсов  
теплоемкости тригонального и стеклообразного селена в  
области температур 3—300° К. Krüger R., Meiss-  
ner M., Minikes J., Tausend . Specific heat mea-  
surements of trigonal and vitreous selenium between 3 and  
300 K by a heat pulse method. «Phys. status solidi (a)»,  
1973, 17, № 2, 471—478 (англ.; рез. нем.)

φ. 1974 N 1.

S, Se, Te (ΔH<sub>mix</sub>) XII 1181 1973

Shigerawa Takashi, Yokokawa Toshio,  
Hiwa Kichizo

Bull. Chem. Soc. Jap., 1973, 46, N3, 761-765  
(Review)

The enthalpies of binary mixtures of  
chalcogen elements. Y. Iijima et al.  
P37 Xmas, 1973

195520  
dnyt

Se

1973

9 E432. Структура конденсированных в вакууме-  
слоев Se. Монтимас Э., Петретис Б., Рака-  
ускас Ю., Балюкас Э. «Liet. fiz. rinkinys, Лит. физ.  
сб.», 1973, 13, № 2, 273—283 (рез. лит., англ.)

Методом электронной микроскопии и микроэлектро-  
нографии исследовано распределение аморфной и кри-  
сталлич. фаз Se в поперечном разрезе электрофотографи-  
ческ. (ЭФС) и электрорентгенографич. (ЭРС) слоев  
Se. Изучена зависимость кол-ва кристаллич. фазы, ее  
модификационного и морфологич. состава и особен-  
ностей ее распределения в поперечном сечении ЭФС и  
ЭРС Se от т-ры подложки во время их изготовления.

Резюме

φ. 1973 № 9

$In_2S_3$ , Se ( $T_m$ ) XII-1261 1973  
12, 15 <sup>февр</sup>

Рустамов Г.Г., Меликова З.Д.

Узб. АН СССР. Неоргик. эксперименты,  
1973, 9, N10, 1673-1676

Исследование тройной системы.

$In-S-Se$ .

РХ Казн., 1974

S5792

5 Ⓢ

Se, S (I)

XII 1146

1973

Сирота Н.Н., Лукомский А.В.

изв. АН БССР. Сер. физ.-мат. н.,

1973, № 2, 122-124

○ Триждыное рекомбинационное  
излучение в антимониде алюминия

РНХИМ, 1973

155585

Ю. (ф) Утил  
запр  
2276

40124.7292

Ph, TE

Se

42530

1973

4-3181

( $C_p$ )

Stephens R.B.

Low-temperature specific heat and  
thermal conductivity of noncrystalline  
dielectric solids.

"Phys. Rev. B: Solid State", 1973, 8, N 6,  
2896-2905

(англ.) 0031 №Ж

014 016

ВИНИТИ

Se

XII-1299

1973

( $T_{t?}$ )

110041a Thermal analysis study of selenium. Tal'vidis, N. M.; Strongin, B. G.; Parasinchuk, N. S. (Chernovits. Gos. Univ., Chernovtsy, USSR). *Izv. Akad. Nauk SSSR, Neorg. Mater.* 1973, 9(2), 176-8 (Russ). Highly pure (99.998%) Se and com. Se were studied by the DTA method. A no. of thermal effects were obsd. and interpreted. Increasing the purity of Se, narrows the temp. region for amorphous state. The no. of thermal effects obsd. at 40-120° depend on the quenching temp. (decreasing with an increase in the latter). The crystn. region is ~100-~200°. Liq. state extends from m.p. to 650°. A no. of exothermal effects are obsd. on cooling from 650°. These effects are owing to the dissociative-associative processes.

S. A. Mersol

C.A. 1973. 78 n18

Se

У 9 Е431. Устойчивость металлического состояния Se под давлением. Wittig J. Stability of the metallic state of selenium under pressure. «J. Chem. Phys.», 1973, 58, № 6, 2220—2222 (англ.)

1973

Осуществлена эксперим. проверка предположения о возможности сохранения металлич. модификации Se после снятия давления. Эксперименты проводились на аппарате типа наковален Бриджмена. Электросопротивление образца определялось четырехзондовым методом. Образец изготавливается из мелкодисперсного высокочистого аморфного Se. При давлении около 130 кбар наблюдалось резкое снижение сопротивления (примерно на 4 порядка), связанное с переходом в металлич. состояние. Аномальный температурный ход электросопротивления при давлении выше 130 кбар и непрерывное повышение сопротивления при постоянном давлении около 130 кбар во времени позволяют предположить, что металлич. фаза, образовавшись, начинает переходить в более устойчивую новую полупроводниковую модификацию. Показано, что при снижении давления металлич. модификация полностью исчезает при давлении выше  $60 \pm 25$  кбар.

В. Зильберштейн

(P<sub>tr</sub>)

— 130 кбар  
ХХ

Ф. 1973  
№ 9

Cd, Se, Te (P).

1974.

Baker E. H.,

XII 1447

Phys. Chem. Process metall.:

Richardson Conf., Pap. 1973 (Pub.  
1974), 11-17.

metallurgical applications of  
boiling point measurements at  
elevated pressures.

5 (P) 5

C.A. 1975. 82 n22. 145443Z.

Se

\*-4-4943 X

1974

( $C_p$ )

III - 1329

18 Б939. Теплоемкость тригонального кристалла селена, стеклообразного и жидкого селена от 5 до 360° К. Chang S. S., Bestul A. B. Heat capacities of selenium crystal (trigonal), glass, and liquid from 5 to 360 K. «J. Chem. Thermodyn.», 1974, 6, № 4, 325—341 (англ.)

С использованием вакуумного адиабатич. калориметра изучена уд. теплоемкость Se высокой чистоты (содержание Se > 99,999 мол. %) для трех различных агрегатных состояний: тригон. кристаллов, закаленных и отожженных стеклообразных образцов (вплоть до т-ры кристаллизации  $T_g$  — 300° К) и переохлажденной жидкости от  $T_g$  до 340° К. Т-ра кристаллизации ( $T_g$ ) стеклообразного Se составляет 304° К для закаленных стекол и 295° К для отожженных стекол. Из сравнения

X. 1974 N 18

значений энталпии установлено, что теплоемкость стеклообразных образцов  $Se(C_p)$  всегда выше, чем  $C_p$  кристалла во всем изученном интервале т-р. Величина  $C_p$ ,  $[H(T) - H(c, 0)]$  и  $S$  для тригои. крист. формы  $Se$  составляет соотв. при  $298,15^{\circ}K$   $25,05 \text{ дж}\cdot\text{град}^{-1}\cdot\text{моль}^{-1}$   $5509 \text{ дж}/\text{моль}$  и  $42,27 \text{ дж}\cdot\text{град}^{-1}\cdot\text{моль}^{-1}$ . Соответствующие термодинамич. св-ва отожженных стекол при  $298,15^{\circ}K$  составляют  $26,23 \text{ дж}\cdot\text{град}\cdot\text{моль}^{-1}$ ,  $9363 \text{ дж}/\text{моль}$  и  $48,60 \text{ дж}\cdot\text{град}^{-1}\cdot\text{моль}^{-1}$  соотв. Остаточная энтропия отожженных и закаленных селеновых стекол, полученная экстраполированием к абрс. нулю ( $T=0$ ), составляет  $3,6$  и  $3,9 \text{ дж}\cdot\text{град}^{-1}\cdot\text{моль}^{-1}$  соотв. Уд. теплоемкость переохлажденной жидкости вблизи  $T_g$  составляет  $\sim 14 \text{ дж}\cdot\text{град}^{-1}\cdot\text{моль}^{-1}$ .

А. В. Салов

Зе

1974

(Себоржеск)

7 Е10 К. Селен. Selenium. Eds Zingaro  
Ralph A., Cooper W. Charles. New York e. a.,  
Van Nostrand Reinhold Comp., 1974. XVII, 835 pp., ill.,  
25.00 (англ.)

Сборник реферируется постатейно.

9.1976  
N.F.

Scz | Hatzikozas A.V. | 1974

Eick Harry &

J. Cleon Theerewegh 6, NV.

374

"Tephrodite "ydermots  
"Eg Sc"

(Cn. Eg Sc it)

Se (refracm.) (st. empfyskmypa) 1974

Krusius P., XII-1479

Electr. Nucl. Technol., 1974, 9,  
33 pp.

Electronic structure of frigo  
nal selenium.

Mr

C.A. 1975. 83 n20. 168575d

Se

Likforman Anna

1974

C. R. Acad. Sci. Ser C

(Tm)

1974, 279(1) 33-5 (Fr)

(au  $Tn_2 Se_3$ ; I)

Se-аморфн.

XII-1440

1974.

8 Е379. Теплоемкость аморфного селена. Мамедов К. К., Керимов И. Г., Мехтиев М. И., Велиев М. И. В сб. «Физ. свойства селена и сelenовых приборов». Баку, «Элм», 1974, 54—60.

С помощью адиабатич. электровакуумного калориметра измерена теплоемкость  $C_p$  аморфного Se в области т-р 56—332° К. Совпадение измеренных и рассчитанных значений  $C_p$  показывает, что аморфный Se действительно имеет цепочечную структуру, и в рассматриваемом интервале т-р практически отсутствует взаимодействие между цепями. Определена дырочная часть  $C_p$ , при 321° К она составляет 3,47 кал/г·атом·град, что довольно близко к теоретич. значениям. Приведены вычисленные значения энтропии и энтальпии в интервале 0—298,15° К.

Т. С.

ф. 1974 № 8

Se (аморфн.)

XII - 1440

1974

9 146005v Heat capacity of amorphous selenium. Mamedov, K. K.; Kerimov, I. G.; Mekhtiev, M. I.; Veliev, M. I. (USSR). *Fiz. Svoistva Selena Selenovykh Prib.* 1974, 54-60 (Russ). Edited by Abdullaev, G. B. "Elm": Baku, USSR. Heat capacity  $C_p$  of amorphous Se [7782-49-2] was detd. at 56-332°K and the changes of entropy and enthalpy with temp. were calcd. The agreement of the  $C_p$  data within 56-150°K with the V. V. Tarasov equation (1950) suggests that within this temp. range the  $C_p$  is due to vibration of Se atoms in chains. In opposition to the published results the temp. dependence of  $C_p$  at 56-300°K does not exhibit any anomalies. At the glass temp.  $T_g$  it shows a max. The results are discussed by using the hole theory of liqs.

( $C_p$ )

C.A. 1975. 82. N22

Se [T<sub>f2</sub>] XII 1306 [1974]

Maddenbaugh A.R., Wu C.T., Viswanathan R.

Solid State Commun., 1973, 13, No, 1413-1416

Superconductivity and phase stability of  
selenium at high pressures.

P.K.Q. HE1891

{, }

55

40829.4521

TC, Ph, Ch

40891 ( $c_p$ ; P;  $\Delta H_f$ ) 1974

Se<sub>n</sub>; n=2+8 \* 4-6018

Криогр. свойства, программа

Rau Hans. Vapour composition and cri-  
tical constants of selenium. "J. Chem.  
Thermodyn.", 1974, 6, N 6, 525-535

(англ.)

XII-1353

0181 экз. 1

148 150

ВИНИТИ

Se

1974.

Рыжиков Р.П.

"GP."

Cp;  $\Delta H$ ;  
 $\Delta S$ ;  $\neq^*$

СГ., Полупров. и дисперс."  
1. 1974, 77-83.

(cн. InSe; I)

GaSe, Ga<sub>2</sub>Se<sub>3</sub>, (Tm) XII1341<sup>1974.</sup>  
Se (Ttr).

Suzuki H., Mori R.,

Jap. J. Appl. Phys., 1974, 13(3),  
417-23.

Исследование раз бинарной системы  
заречи - селен.



Б Ⓢ

C.A.1974.81. N4. 17339n.

5

Se, Ge.Sex (cp)

XII 1441

1974

Зигель В.В., Орлова Г.И.,  
ЭН. прикл. химии, 1975, 48, N<sup>o</sup> 4, 756-761

Низкотемпературные теплопроводы  
Ge Sex.

РИХХИМ, 1975

16 5734



5(φ)

6

1975

Se

7 4 E175. Постоянные решетки тригонального селена  
в интервале 85—380° К. Große R., Swoboda H.,  
Tau send A. Lattice constants  $a$  and  $c$  of trigonal se-  
lenium between 85 and 380 K. «J. Phys. C: Solid State  
Phys.», 1975, 8, № 21, L445—L446 (англ.)

Постоянные решетки  $a$  и  $c$  монокристаллов триго-  
нального Se измерены методом прецессий Бургера в  
интервале т-р 85—380° К. В пределах точности измере-  
ний ( $5 \cdot 10^{-3}$  Å) постоянные решетки линейно зависят  
от т-ры.

φ1976 N 4

1975

Se

10 Б421. Параметры решетки  $a$  и  $c$  тригонального селена между 85 и 380° К. Grove R., Swoboda H., Tausend A. Lattice constants  $a$  and  $c$  of trigonal selenium between 85 and 380 K. «J. Phys. C: Solid State Phys.», 1975, 8, № 21, L445—L446 (англ.)

Проведено рентгенографич. (метод прецессии с использованием камеры-криостата) исследование характера термич. расширения тригон. решетки кристаллов Se (полученных методом хим. транспортной р-ции) в ин-

тервале т-р 85—380° К. Найдены след. ур-ния, отражающие зависимость параметров решетки  $a$  и  $c$  от т-ры:  $a(T) = 4,277 + (3,215 \cdot 10^{-4})T$ ;  $c(T) = 4,974 - (0,685 \cdot 10^{-4})T$ . Полученные данные находятся в хорошем соответствии с ранее известными данными по термич. расширению решетки Se в интервале т-р 290—380° К.

С. В. Соболева

накад.

февр 1975

Х 1976 № 10

*Se*

XII-1975

1975

12 E571. Исследование структурных агрегатов селена в паровой фазе в зависимости от их размера. I. Результаты масс-спектрометрических исследований. Hoageau A., Raymond J.-M., Cabaud B., Uzan R. Étude des agrégats de sélénium en phase vapeur en fonction de leur taille. I. Résultats expérimentaux par spectrométrie de masse. «J. phys.» (France), 1975, 36, № 7—8, 737—743 (франц.; рез. англ.)

С помощью масс-спектрометра ATLAS CH4, снабженного ячейкой Кнудсена, соединенной с ионным источником, в интервале т-р 410—610° К исследован состав пара чистого Se, а также потенциалы ионизации и энергии атомизации различных молекулярных образований Se в зависимости от числа составляющих их атомов. Доказано существование молекул  $Se_3$  и  $Se_4$ , а их потенциалы ионизации и энергии диссоциации найдены равными  $9,23 \pm 0,5$  и  $9,11 \pm 0,5$  эв и 117,7 и 170,3 ккал/моль соответственно. Определены теплоты сублимации, потенциалы ионизации и энергии атомизации молекул  $Se_i$  для  $i=2 \div 8$ .

В. Ф. Байбуз

*состав  
пара, г,*



(+2)  $Se_3, Se_4$

(хс, г)

φ 1975 N 12

1975

XII - 1497

Se

(ΔH<sub>s</sub>, ΔH<sub>v</sub>)Se<sub>x</sub> x = 2, 5, 6, 7,  
3, 9

(Δv, Δ)

C.A. 1975. 83 N12

(+) (B)

104353x Study of gaseous selenium clusters with respect to size. I. Experimental results by mass spectrometry. Hoareau, A.; Reymond, J. M.; Cabaud, B.; Uzan, R. (Dep. Phys. Mater., CNRS, Villeurbanne, Fr.). *J. Phys. (Paris)* 1975, 36(7-8), 737-43 (Fr). By using data obtained from Knudsen-cell mass-spectrometric measurements, the std. enthalpies  $\Delta H^\circ$ , in kcal/mole) detd. for the sublimations  $jSe(s) \rightarrow Se_j(g)$  at 445°K and the vaporizations  $iSe(l) \rightarrow Se_i(g)$  at 525°K, and the dissocn. energies ( $D^\circ$ , in kcal) detd. for  $Se_k \rightarrow kSe$  at 550°K, resp., are: 35.2, 32.6, and  $35.2 \pm 2$  for  $j = 5, 6$ , and 7, resp.; 29.5, 21.7, 17.6, 16.6, and  $14.5 \pm 2$  for  $i = 2, 5, 6, 7$ , and 8, resp.; 226, 282.5, 332, 388, 429, and 480 for  $k = 5, 6, 7, 8, 9$ , and 10, resp. The existence of the  $Se_3$  [12597-24-9] and  $Se_4$  [12597-26-1] mols. in the vapor phase was demonstrated. The measured ionization potentials of  $Se_i$  are 8.99, 9.23, 9.11, 8.18, 8.20, 8.08, and 8.14 eV for  $i = 2, 3, 4, 5, 6, 7$ , and 8, resp.

Se (e)

CR

4824

1975

Kerr T. A., et al.

(ΔHf)

Handbook Chem. Phys.,  
55th Ed., 1974-75

Se (cřek.) 1975  
Pomicek T. J. u gryze.

puerem  
m. g. cb-b

M. infected. Xeroderma,  
1975, 48 VI, 209-10.

● (cut. In Se; -)

1975

Se<sub>2</sub>  
Se<sub>5</sub>  
Se<sub>6</sub>  
Se<sub>7</sub>  
Se<sub>8</sub>

} 84: 170520w The use of differential scanning calorimetry for the characterization of dynamic evaporation processes. Sigai, A. G. (J. C. Wilson Cent. Technol., Xerox Corp., Rochester, N. Y.). *Conf. Int. Thermodyn. Chim.*, [C. R.], 4th 1975, 8, 19-24 (Eng). Edited by Rouquerol, Jean; Sabbah, Raphael. Cent. Rech. Microcalorimetrie Thermochim. C.N.R.S.: Marseille, Fr. Differential scanning calorimetry (DSC) was used to study and to characterize evapn. processes. This technique was applied to Se [7782-49-2], since free evapn. techniques are employed widely to prep. deposited films of this material and since very little is known about the thermodyn. or the vapor species generated in this mode of evapn. There is some evidence that the mol. aggregates generated are sensitive to the method of evapn. In equil. Knudsen cell evapn., Ses [12597-28-3] and Se<sub>6</sub> [12597-30-7] are regarded as the primary gas-phase species; in laser-induced evapn., Se<sub>2</sub> [12185-17-0] predominates. Heats of vaporization are tabulated for Se<sub>2</sub>, Se<sub>5</sub>, Se<sub>6</sub>, Se<sub>7</sub>, and Se<sub>8</sub>.

(ΔH<sub>v</sub>)

c.a. 1976 84 N24

Se

XII-1493; XII-1581

1975

Δ34

④ 1378711 Open-boat evaporation of selenium. Sigal, A. G. (R. C. Wilson Cent. Technol., Xerox Corp., Rochester, N. Y.). *J. Vac. Sci. Technol.*, 1975, 12(4), 958-9 (Eng). The heat of evapn. of Se [7782-49-2] was detd. in a differential scanning calorimeter at 623°K to be 11.2 kcal/g atom. This result agrees with R. Porter's value of 11.4 kcal/g atom based on the assumption that the gas phase compn. is almost exclusively  $\text{Se}_2$ .

C.A. 1975-83 n16

Se

XII-1493; XII-1581

1975

12 E570. Испарение Se из открытой лодочки. S i -  
g a i A. G. Open-boat evaporation of Se. «J. Vac. Sci.  
and Technol.», 1975, 12, № 4, 958—959 (англ.)

Рассмотрена термодинамика процесса испарения Se из открытой лодочки, используемого для осаждения пленок. Исследования проводились с использованием калориметра Перкин-Элмера в Al-контейнерах при скоростях потоков азота до 40 см<sup>3</sup>/мин. Получена средняя теплота испарения Se 11,2 ккал/г·атом для т-ры испарения 350° С (623° К). Приведены теплоты испарения Se<sub>n</sub> из масс-спектрометрич. данных.

К. Авдиенко

(ΔH<sub>v</sub>)

18

(+1) Se(n)  
(ΔH<sub>v</sub>)

Ф 1975 № 12

1975

Se

2 E512. Исследование испарения селена и сплавов селен-мышьяк. G a g u S i g a i A. Vaporization properties of selenium and arsenic-selenium alloys. «4ème Conf. int. thermodyn. chim., Montpellier, 1975. Vol. 3.» S. l., s. a., 46 (англ.)

Краткая аннотация. Установлено, что давление пара над аморфным Se выше, чем над кристаллическим, но соответствует давлению пара над жидким Se, если бы последний существовал при т-ре измерений. При нагревании аморфного Se наблюдается падение давления пара в связи с кристаллизацией. Определена теплота этого перехода. Исследованы термодинамич. свойства сплавов Se—As.

Б. М.

© 1977 N 2

Se

1375

(свойства, испарение из AsSe<sub>x</sub>)

5 Б885. Свойства селена и сплавов мышьяк — селен при испарении. Gary Sigai A. Vaporization properties of selenium and arsenic-selenium alloys. «4ème Conf. int. thermodyn. chim., Montpellier, 1975. Vol. 3.» S. I., s. a., 46 (англ.)

Методом Кнудсена исследован процесс испарения аморф. и крист. Se и сплавов и As — Se. Показано, что давл.  $P_{\text{Se}}$  над аморф. Se выше, чем над кристаллическим. Предложено считать аморф. Se метастабильной фазой — переохлажденным расплавом. М. В. Коробов

Х. 1977 № 5

☒ (41) As<sub>x</sub>Se  
(св-ва)

1976

Se (se, selenoosp)

86: 21973k Pressure-volume-temperature relations in liquid and glassy selenium. Berg, J. I.; Simha, Robert (Dep. Macromol. Sci., Case West. Reserve Univ., Cleveland, Ohio). *J. Non-Cryst. Solids* 1976, 22(1), 1-22 (Eng). The pressure=vol.-temp. (PVT) properties of amorphous Se were studied exptl. and theor. at 0-70° and  $P \leq 200$  MPa (Pa = 1 pascal). PVT Surfaces were detd. for the metastable liq. and for a glass formed by a pressurization and cooling procedure. The liq.-glass intersection line  $T_{lg}(P)$  is compared with the glass transition line  $T_g(P)$ , obtained by pressurizing the liq. isothermally at a rate of 2 MPa/min. Anal. expressions based on the PVT data are compared with the predictions of the hole theory of S. and T. Smeynsky (1969) originally formulated for open-chain mol. fluids. The agreement for the liq., although satisfactory, is not as good as for amorphous org. polymers, possibly because Se contains both open-chain and Se<sub>8</sub> ring mols. The theor. scaling

P-V-T

gauze

C.A. 1977 86M4

parameters for the best fit to expt. are compared with those obtained for polymers. A very high characteristic pressure and cohesive-energy d. were found. The theor. hole fraction is nearly const. along the  $T_{lg}(P)$  line for low pressures. For the glass, a theor. equation of state, obtained from that for the liq. by freezing the hole fraction, compares favorably with expt. The Prigogine-Desaq ratio,  $\Delta\kappa\Delta C_p/TV(\Delta\alpha)^2 \approx 2.0$ , was calcd. by using literature values of the heat capacity,  $\Delta C_p$ , where  $\Delta\kappa$  and  $\Delta\alpha$ , resp., are the differences in the compressibility and expansion coefs. between the liq. and the glass evaluated on the intersection line.

*Se*

1976

5 Б814. Влияние структуры на энергетику превращения стекловидного селена в гексагональный. Gałdecki Zdzisław, Gorkiewicz Zbigniew, Reimschüssel Władysław, Świątkowski Witold. Effect of structure on energetics of transformation of vitreous into hexagonal selenium. «Roczniki chemii», 1976, 50, № 7-8, 1231—1238 (англ.; рез. польск., рус.)

В калориметре определена теплота превращения стекловидного селена в гексагональный. Эксперим. значение теплового эффекта ( $\Delta H_{\text{т}}^{\circ}$ )  $Q_{\text{эксп}} = a \cdot Q_I + \alpha \cdot Q_{II}$  (1), где  $Q_I$  —  $\Delta H_{\text{т}}$  перестройки кольцевых структур  $\text{Se}_6$  или  $\text{Se}_8$  в длинные неупорядоченные цепи,  $a$  — вес. доля кольцевых структур,  $Q_{II}$  —  $\Delta H_{\text{т}}$  упорядочения цепей и обра-

*ΔH<sub>т</sub>*

*X. 1977 N 5*

зования гексагон. сеток,  $\alpha$ -степень этого превращения (степень кристалличности), определявшаяся рентгенографически (ДРОН-1,  $CuK\alpha$ , никелевый фильтр). Показано, что среди значений  $Q_{эксп}$  не зависит от температуры переплавки селена и составляет  $13,0 \pm 0,1$  кал/г. Повышение температуры переплавки с  $225$  до  $330^\circ$  приводит к уменьшению  $a$  от  $0,4$  до  $0,28$  в 1-м члене уравнения (1) и одновременно к росту  $\alpha$  от  $0,413$  до  $0,635$ . Это приводит в сумме к практически постоянному значению  $Q_{эксп}$ . Для  $300^\circ$  найдено  $Q_I = 21$  кал/г и  $Q_{II} = 12$  кал/г со станд. отклонением  $s$ , равным соотв.  $0,8$  и  $0,6$  кал/г. Л. Витинг

*Se(2e)* XII-1562 1976

St: 111963v. This high temperature vapor pressure curve and the critical point of liquid selenium. Hoshino, H.; Schmitzler, R. W.; Hensel, F. (Fachber. Phys. Chem., Philippa Univ., Marburg; Marburg; Get.), *Ber. Bunsenges. Phys. Chem.* 1976, 80(1), 27-31 (Eng). The vapor pressure curve of liq. Se was measured up to the crit. point by observing the discontinuous jumps of the conductivity when the liq. is evapd. The crit. point was found at  $T_{\text{crit}} = 1500 \pm 20^\circ$  and  $p_{\text{crit}} = 350 \pm 30$  bar. The highly corrosive Se was contained in a cell of sinted alumina and graphite allowing contd. measurements to be made up to  $1750^\circ$  and more than 1200 bars. The measurements were performed in an internally heated autoclave. Although the cond. of liq. Se increases with increasing temp. at constant pressure to itsly metallic values close to the crit. point, an anal. of the vapor pressure data in terms of correspondence state theory led to the suggestion that Se is essentially a mol. fluid in the vicinity of the crit. point rather than a metallic one.

*(P<sub>t</sub>, T<sub>cr</sub>, P<sub>cr</sub>)*

C.A. 1976, 84 n 16

*Se*

D 14 Б879. Кривая давления пара при высоких температурах и критическая точка жидкого селена. Noshino H., Schmutzler R. W., Hense F. The high temperature vapour pressure curve and the critical point of liquid selenium. «Ber. Bunsenges. phys. Chem.», 1976, 80, № 1, 27—31 (англ.; рез. нем.)

1976

*P, T<sub>кр</sub>*

Кривая давл. пара жидкого Se была изучена до крит. точки путем исследования проводимости при испарении жидкости. Давл. пара определялось путем измерения сопротивления образца при фиксированном давл. и постепенно возрастающей т-ре. При т. кип. сопротивление резко возрастало за счет замены жидк. фазы парами Se с высоким сопротивлением. Соответствующие этому т-ра и давл. давали точку на кривой давл. пара. Критическая точка найдена равной  $T_{кр} = 1590 \pm 20^\circ$  и  $P = 380 \pm 30$  бар. Измерения проводимости проведены до т-ры  $1750^\circ$  и давл.  $> 1200$  бар. Эксперименты проводились в автоклаве с внешним подогревом. Проводимость жидк. Se увеличивается с ростом т-ры при постоянном давл. приближаясь к металлич. у крит. точки. Анализ данных давл. пара по теории соответственных состояний приводит к предположению, что Se является молек. жидкость вблизи крит. точки в большей степени, чем металлом.

~ В. Чернышов

✓/7 - 1/5

☒

†/

*P, Г.*

x1976 n14